

T. C.

İSTANBUL ÜNİVERSİTESİ

FEN BİLİMLERİ

ENSTİTÜSÜ

BİZMUT İNCE FILMLERİNİN ELEKTRİK ÖZELLİKLERİ

YÜKSEK LİSANS TEZİ

(FİZİK ANABİLİM DALI, GENEL FİZİK PROGRAMI)

H. Kemal ULUTAŞ

Danışman : Doç. Dr. Bülent AKSOY

ŞUBAT — 1990

T. C.
İSTANBUL ÜNİVERSİTESİ
FEN BİLİMLERİ
ENSTİTÜSÜ

BİZMUT İNCE FILMLERİNİN ELEKTRİK ÖZELLİKLERİ

YÜKSEK LİSANS TEZİ
(FİZİK ANABİLİM DALI, GENEL FİZİK PROGRAMI)

H. Kemal ULUTAŞ

Danışman : Doç. Dr. Bülent AKSOY

ŞUBAT — 1990

İÇİNDEKİLER

TEŞEKKUR

ÖZET

SUMMARY

I.GİRİŞ	1
II.TEORİK BÖLÜM	
II.1 BOLTZMAN DENKLEMİ	4
II.2 İNCE FİLM İLETKENLİĞİ	7
II.3 FİLM KALINLIĞININ HESABI	9
III.DENEYSEL BÖLÜM	
III.1 ÖRNEKLERİN HAZIRLANMASI	14
III.2 İLETKENLİK ÖLÇMELERİ	16
III.3 SPEKTROFOTOMETRİK ÖLÇMELER	17
III.4 İNTERFEROMETRİK ÖLÇMELER VE ŞİŞME FAKTÖRU TAYINI	19
IV.SONUÇ	35
V.TARTIŞMA	39
KAYNAKLAR	41
EK 1 MATEMATİKSEL İŞLEMLER	42
EK 2 BİLGİSAYAR PROGRAMLARI	53

TEŞEKKÜR

Bu çalışma İ.Ü. Fen Fakültesi Fizik Bölümü Genel Fizik Anabilim Dalı laboratuvarlarında yapılmıştır.

Çalışma ortamını sağlayan hocam Fizik Bölüm Başkanı Prof. Dr. Gediz AKDENİZ'e saygı ve teşekkürlerimi sunarım.

Bu çalışmayı yöneten ve çalışmalarında desteğini gördüğüm Doç. Dr. Bülent AKSOY'a saygı ve teşekkürlerimi sunarım.

Çalışmamdaki yardımlarından dolayı hocam Prof. Dr. Emine RIZAOĞLU'na ve çalışmamla ilgilenen hocalarına şükranlarımı sunarım.

Ayrıca yardımlarını esirgemeyen Arş. Gör. Nevin KALKAN, Arş. Gör. Ayşe KIZILERSU, Arş. Gör. Göksel DAYLAN ve Arş. Gör. Deniz DEĞER'e en içten teşekkürlerimi sunmayı bir borç biliyim.

İSTANBUL, ŞUBAT 1990

ÖZET

Bu çalışmada 10^{-5} Torr'luk vakumda termik buharlaştırmayla hazırlanan farklı kalınlıklarda ince Bi filmlerinin, vakumdan çıkarıldıktan sonra 200-900 nm'lik spektral bölge de transmitans ve zamana bağlı D.C. iletkenlik ölçmeleri yapıldı.

Optik ölçmelerde Bi ve üzerinde oluşan BiO_x filmlerinin kalınlıkları belirlendi. Zamanla oluşan BiO_x in Bi- BiO_x film sistemindeki iletkenliğine etkisi göz önüne alınarak Bi filminin kalınlıkla değişimi araştırıldı.

Değişik kalınlıklardaki Bi filmlerinin omik iletkenlik gösterdiği ve iletkenliğinin kalınlıkla azaldığı görüldü.

Ölçü sonuçlarına göre tayin edilen iletkenlik değerlerine ince metal filmlere uygulanabilen Boltzman Transport denklemi ve Fuchs-Sondheimer yaklaşımı uygulanarak ortala- ma serbest yol hesaplandı.

SUMMARY

In this work, measurement of transmittance in the wavelength range of 200 - 900 nm. and time-dependent D.C. conductivity for thin Bi films of different thickness prepared by thermic evaporation method have been done.

The thickness of Bi and BiO_x layer formed on the Bi films have been determined by optical methods. By taking account of the effect of the time increasing BiO_x layer on the conductivity of the Bi films conductivity versus thickness has been investigated.

It was found that Bi films of different thickness show ohmic conductivity which decreases by increasing thickness.

The mean free path has been evaluated according to the Boltzman transport equation and the Fuchs-Sondheimer approximation by using the values of conductivity calculated from the experimental results.

I.

GİRİŞ

Bizmut, Antimon, Arsenik V. grup elementleri olup yarımetal olarak adlandırılırlar ve bunlar primitif hücresinde iki atom bulunan rombohedral kristal yapıya sahiptirler⁽¹⁾. Bu elementlerde elektron ve hollerin fermi enerjileri küçüktür (Bi'da $E_f \sim 0,1$ eV metallerde 3-5 eV). Elektiriksel iletkenlikleri küçüktür. Bizmut'ta elektronların mobilitesi hollerinkinden büyüktür. Dolayısıyla bütün iletkenlik özelliklerinde elektronlar etkindirler.

İnce filmlerde klasik boyut etkisi için ilk ifade 1901'de Thomson tarafından çıkarıldı. Daha iyi bir ifade 1938'de Fuchs tarafından bulundu. 1952'de Sondheimer bu hesaplardan bazılarının düzeltip, geliştirerek boyut etkisi için bir makale yayınladı⁽²⁾. Mayadas Fuchs-Sondheimer teorisine ilave saçılma mekanizmaları getirerek yeni bir mekanizma ortaya koydu⁽³⁾.

İnce filmlerde klasik boyut etkisi elektronların λ ortalama serbest yolları d film kalınlığı mertebesinde olduğu zaman bütün iletkenlik ölçmelerinde gözlemlenebilir. Klasik boyut etkisi $\lambda > d$ halinde film yüzeyinin, serbest taşıyıcıların hareketlerini sınırlamasıdır. Klasik boyut etkisi özdi-rencin artmasına neden olur. Bizmut'ta boyut etkisi Komnik ve Bukhstab⁽⁴⁾, Thornbug ve Wayman⁽⁵⁾, R. A. Hoffman ve D. R. Frankl⁽⁶⁾, V. D. Das ve N. Soundarajan⁽⁷⁾ tarafından özdirenç, Hall olayı ve termoelektrik güç deneylerinde gözlenmiştir.

Film yüzeyi tarafından sınırlandırılan serbest taşıyıcı-

ciların λ ortalama serbest yolları için A. Lal ve Duggal⁽⁸⁾ kalın epitaksiyel Bi filmlerinde λ yaklaşık $0,8 \mu$, Komnik ve Bukhstab⁽⁴⁾ 400 °K de polikristal Bi filmlerinde λ yaklaşık 2000-4000 Å arasında ve Ö. Öktü⁽¹⁾ λ nin yaklaşık 3000-8000 Å arasında olduğunu tayin etmişler. Öktü metallerdeki ortalama serbest yola oranla çok daha uzun olduğunu önesürmüştür (Metallerde 300 °K'de λ ~ 100 Å mertebesinde). Bizmut filmlerinin iletkenlik özellikleri ile ilgili çalışmaların bazıları aşağıda sunulmuştur:

Yu. F. Komnik ve E. Bukhstab⁽⁴⁾ polikristal ince Bi filmlerinde Kuantum ve Klasik boyut etkilerini, R. A. Hoffman ve D. R. Frankl⁽⁵⁾ ince Bi filmlerinin elektriksel özelliklerini, V. D. Das ve N. Soundararajan⁽⁷⁾ ince Bi filmlerinin Seebeck katsayısında boyut ve temperatür etkilerini, V. P. Duggal ve R. Rup⁽⁹⁾ tek kristalli ince Bi filmlerinde Hall katsayısı ve özdirençin kalınlığa bağlı titreşim davranışını, S. Kochowski⁽¹⁰⁾ 78-293 °K aralığında ince Bi filmleri için kalınlıkla spesifik direncin anormal bağlılığını, V. B. Sandomirskii ve diğerleri⁽¹¹⁾ Bi filmlerinin Hall katsayısının ve özdirencinin sıcaklığa bağlılığını, A. Kawazu ve diğerleri⁽¹²⁾ ince Bizmut filmlerinin elektriksel özelliklerini, S. Baba ve diğerleri⁽¹³⁾ ince Bi filmlerinin özdirencini, E. P. Fesenko⁽¹⁴⁾ Bi filmlerinde direncin boyut kuantizasyonunu, H. Asahi⁽¹⁵⁾ düşük sıcaklıkta ince Bi filmlerinin elektriksel özelliklerinde boyut etkisini, J. L. Cohn ve C. Uker⁽¹⁶⁾ yarı iletken Bi filmlerinin elektriksel direncini ve zamana bağlı oksidasyonu, V. D. Das ve S. Vaidehi⁽¹⁷⁾ farklı taşıyıcı sıcaklıklarında buharlaştırılan ince Bi filmlerinin yarı iletken davranışlarını, L. S. Hsu ve arkadaşları⁽¹⁸⁾ ince Bi filmlerinin Hall katsayısının ve özdirencinin temperatüre bağlılığını incelemişler.

Bu çalışmada % 99 saflikta Bizmut'un termik buharlaştırılmasıyla hazırlanan filmlerin metal kalınlıkları, oksit

kalınlığının ve şişme faktörünün gözönüne alınmasıyla tayin edildi. Filmlerin I-V karakteristiklerinden iletkenlikleri nin omik karakterde olduğu belirlendi. Filmlerin geçirgenlik dalga boyu değişiminde film kalınlığının artmasıyla geçirgenliğin azaldığı görüldü. Film özdirencinin balk özdirencin den küçük olduğu belirlendi. Deneysel iletkenlik değerlerin den hesaplanan ortalama serbest yolun film kalınlığından daha büyük olduğu görüldü. Çalışmamızda ortalama serbest yolun hesabı Fuchs - Sondheimer yaklaşımıyla hesaplandı. Ayrıca bu yaklaşım kullanılmadan bir bilgisayar programıyla da çözüldü.

II.

TEORİK BÖLÜM

II.1. BOLTZMAN DENKLEMİ

Bir katıya elektrik veya manyetik alan uygulandığında yada katı üzerinde bir sıcaklık gradienti oluşturulduğunda, serbest taşıyıcıların denge dağılım fonksiyonu bozulur. Dış etkenler nedeniyle ivmeleñen, ayrıca katı içinde fononlar ve kristal kusurları tarafından saçılan serbest taşıyıcılar bu yolla alandan kazandıkları enerjinin bir kısmını örgüye verirler. Kararlı duruma ulaşıldığında bu etkenler arasında yeni bir denge oluşur. hk momentumuna sahip taşıyıcıların r noktasındaki pertürbe olmuş elektronik dağılım fonksiyonu $f_k(r,t)$, pertürbe olmamış elektronik dağılım fonksiyonu f_0 dır. (Katı üzerinde bir dış alan veya sıcaklık gradienti yoksa $f \sim f_0$ dir.)

Bir metal için f_0 , Fermi-Dirac dağılım fonksiyonudur ve aşağıdaki gibi verilir⁽¹⁹⁾.

$$f_0 = 1 / \left[\exp \left((E - E_f) / kT \right) + 1 \right]$$

II.1.1.

m elektronun kütlesi, e elektronun yükü, E ve H uygulanan elektrik ve magnetik alan, V elektronun hızı, ve τ rölaçsas yon zamanı olmak üzere, Boltzman Transport denklemi olarak adlandırılan kararlı durum koşulu

$$-(e/m) \left[E + 1 / c(V \times H) \right] \text{grad}_V f + V \text{grad}_r f = -(f - f_0) / \tau \quad \text{II.1.2.}$$

şeklinde ifade edilir⁽²⁰⁾.

z ekseni, d kalınlığındaki bir filmin sınır yüzeyine diken alınır ve akım iki sınır yüzeyine paralel x yönünde film içinden akmaktadır. İletkenlikte boyut etkilerini incelemek için (II.1.2.) denkleminin kullanımı ikinci terimin mevcudiyetine bağlı olmaktadır. (∇ grad, f) balk materyal için ihmali edilebilir bir değerde olup ince film için ise z yönünde hesaba katılması gereken bir değer alır ve burada f

$$f = f_0 + f_1(v, z)$$

II.1.3.

şeklinde yazılabilir.

Bu ifadeye göre (II.1.2.) de yalnız elektrik alan ve sıcaklık gradienti ele alınırsa ($H = 0$ ve z yönünde ikinci terimin sıfır olmamasından) Boltzman denklemi

$$-(e/m)E \left(\nabla_v f \right) + V_z \left(\frac{\partial f_1}{\partial z} \right) = -f_1/\tau$$

II.1.4.

olur. Eğer uygulanan elektrik alan küçükse f, f_0 dan çok az ayrılmıştır dolayısıyla sol taraftaki ilk terimde f yerine f_0 alınabilir ve x yönündeki bileşeni

$$(\nabla_v f)_x = \frac{\partial f_0}{\partial v_x}$$

II.1.5.

şeklinde yazılırsa Boltzmann denklemi aşağıdaki gibi olur:

$$(eE / mV_z) \frac{\partial f_0}{\partial v_x} = \left(\frac{\partial f_1}{\partial z} \right) + f_1 / V_z \tau$$

II.1.6.

II.1.6. denkleminin genel çözümü:

$$f_1(v, z) = \left[eE\tau / m \right] \frac{\partial f_0}{\partial v_x} * \left[1 + F(v) \exp \left(-z / V_z \tau \right) \right]$$

II.1.7.

şeklidindedir. (EK-1A). Burada $F(v)$ v nin keyfi bir fonksiyonu

dur.

$$v_z > 0 \quad f_1(v, o) = 0$$

$$v_z < 0 \quad f_1(v, o) = 0$$

dir. II.1.7. denklemi için iki dağılım fonksiyonu vardır:

$v_z > 0$ olan elektronlar için,

$$f_1^+(v, z) = \left[eE\tau / m \right] \partial f_0 / \partial v_x \cdot \left[1 - \exp \left(-z / \tau v_z \right) \right] \quad \text{II.1.8.}$$

$v_z < 0$ olan elektronlar için,

$$f_1^-(v, z) = \left[eE\tau / m \right] \partial f_0 / \partial v_x \cdot \left[1 - \exp \left((d-z) / \tau v_z \right) \right] \quad \text{II.1.9.}$$

Bu ifadeler z doğrultusunda v hızına sahip elektronların dağılımını vermektedir. Bir elektrik alan ve sıcaklık gradientinin mevcudiyetinde hesaplanan bu ifadeler filmdeki iletkenlik mekanizmasını açıklamak için kullanılmaktadır.

II.2. İNCE FILM İLETKENLİĞİ

Akım yoğunluğu birim yüzeyden birim zamanda geçen yük miktarını verir. f , yeri r ile verilen d^3r sonsuz küçük hacim elemanında bulunan ve p momentumundaki d^3p sonsuz küçük momentum uzayında bulunan elektronların sayısı olmak üzere akım yoğunluğu,

$$J = \left[-2e/h^3 \right] \int v f d^3p$$

II.2.1.

veya

$$J = \left[-2e \left(m/h \right)^3 \right] \int v f d^3v$$

II.2.2.

şeklinde yazılabilmektedir⁽²¹⁾.

Bu denklemde II.1.3. de verilen f fonksiyonu kullanılarak film içindeki akım yoğunluğu $J_x(z)$

$$J_x(z) = \frac{4\pi e^2 \tau m^2 v^3 E}{h^3} \int_0^{\pi/2} \sin^3 \theta [1 - \exp(-\frac{-d}{2\lambda \cos \theta}) \cosh(\frac{d-2z}{2\lambda \cos \theta})] d\theta$$

II.2.3.

olarak bulunur. Burada $\lambda = \bar{v}\tau$ elektronların ortalama serbest yoludur.

Film iletkenliği σ ise

$$\sigma = \frac{1}{E d} \int J_x(z) dz$$

II.2.4.

dir. II.2.3. ifadesi II.2.4. deki yerine yazılırsa

$$\sigma = \sigma_0 [1 - (3/2k) \int_1^{\infty} \left(\frac{1}{t^3} - \frac{1}{t^5} \right) (1 - e^{-kt}) dt] \quad \text{II.2.5.}$$

elde edilir Burada

$$t = 1/\cos\theta$$

d film kalınlığı, λ ortalama serbest yol olmak üzere

$$k = \frac{d}{\lambda}$$

ve balk yapısındaki iletkenlik σ_0 ise

$$\sigma_0 = \frac{8\pi e^2 m^2 \tau v}{3h^3}$$

dir. Film iletkenliği σ , t ve k ya bağlı olarak balk yapı iletkenliği σ_0 a göre farklı bir değer olmaktadır ve II.2.5. ifadesinden $\sigma < \sigma_0$ olduğu anlaşılmaktadır.

II.2.5. denklemi yaklaşık olarak

$$k \gg 1 \quad \text{için} \quad \frac{\sigma}{\sigma_0} = 1 - \frac{3}{8k} \quad \text{II.2.6.}$$

$$k \ll 1 \quad \text{için} \quad \frac{\sigma}{\sigma_0} = \frac{3k}{4} \left(\ln \frac{1}{k} + 0.423 \right) \quad \text{II.2.7.}$$

şeklinde yazılabilir (EK-1B).

II.3. FILM KALINLIĞININ HESABI

A) TRANSMİTANS YÖNTEMİ

E düşen ışığa, D geçen ışığa ait elektrik alan vektörlerinin genlikleri olmak üzere transmitans

$$T = \left(\frac{\hat{D}}{\hat{E}} \right) \left(\frac{\hat{D}}{\hat{E}} \right)^*$$

II.3.A1.

dir. Işığın film yüzeyine dik gelmesi halinde Fresnell katsayıları cinsinden transmitans T aşağıdaki formülle gösterilir:

$$T = \left[\frac{\hat{d}_{0,1} \hat{d}_{1,2} e^{-ix/2}}{1 + \hat{r}_{0,1} \hat{r}_{1,2} e^{-ix}} \right] \left[\frac{\hat{d}_{0,1} \hat{d}_{1,2} e^{-ix/2}}{1 + \hat{r}_{0,1} \hat{r}_{1,2} e^{-ix}} \right]^*$$

II.3.A2.

Burada $d_{m,m+1}$ ve $r_{m,m+1}$ (m) - ($m+1$) sınır yüzeyinden geçen ve yansiyan ışığa ait Fresnell katsayıları,

$$\hat{d}_{m,m+1} = \frac{2\hat{n}_m}{\hat{n}_m + \hat{n}_{m+1}}$$

II.3.A3.

$$\hat{r}_{m,m+1} = \frac{\hat{n}_m - \hat{n}_{m+1}}{\hat{n}_m + \hat{n}_{m+1}}$$

II.3.A4.

şeklinde verilir. \hat{n}_f filmin kırma indis, d film kalınlığı ve λ kullanılan ışığın dalga boyu olmak üzere faz farkı x

$$x = \frac{4\pi\hat{n}_f d}{\lambda}$$

II.3.A5.

dir. Bizmut filmine ait ölçmelerden \hat{n} indis değeri ($\hat{n} = n - ik$) biliniyorsa (ki burada $n = 2,317$ ve $k = 3,049$) bu değerler

II.3.A2. ifadesinde kullanılarak teorik olarak d-T değişimleri bilgisayarla hesaplanabilir. Bu değişim Şekil I^{II} de verildi.

Bu değişimlerden ölçülen $T_{\text{ö}}^{\text{l}}$ değeri yardımıyla d tayin edilebilir. Bu çalışmada Bi filmlerine ait \hat{n}_f indisinin kalınlıkla değişmediği ve yukarıdaki değerde sabit kaldığı kabul edildi. İkinci olarak bu çalışmaya paralel yürütülen D. Değer'in Elipsometrik ölçmelerine göre Bi filmi üzerinde 140 A° kalınlığındaki BiO_x filminin oluştuğu görüldü. Bu halde üç sınır için elde edilen Transmitans hesaplarında BiO_x in yukarıdaki d-T değişimini fazla etkilemediği gözlandı.

B) İNTERFERANS YÖNTEMİ

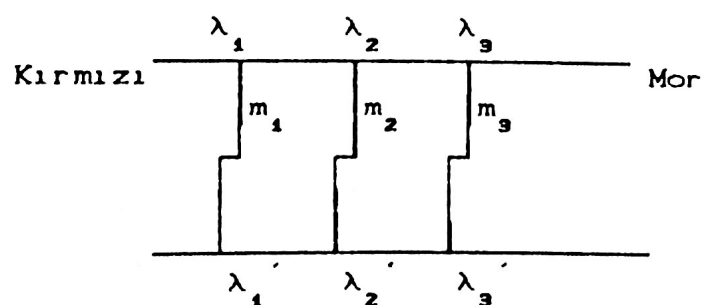
Bu yöntem gümüşlü iki yüzeyin arasında kalan hava kama sında meydana gelen interferans franjlarının izlenmesine dayanır. Interferans franjları kullanılan ışığa göre başlıca iki sınıfa ayrılabilir :

- Eşit Kromatik Mertebe Franjları
- Eşit Kalınlık Franjları

Çalışmamızda eşit kromatik mertebe frajları yöntemi kullanıldı.

- Eşit Kromatik Mertebe Franjları :

Birer yüzü gümüşlenmiş iki cam levhayı, gümüşlu yüzeyleri birbirine bakacak şekilde yerleştirecek olursak kama açısı küçük bir hava kaması elde ederiz. Böyle bir sistem beyaz renkli bir ışınla aydınlatılırsa ve bir spektrometre kullanılarak gözlem yapılarsa spektrumun görünür bölgesi içinde kırmızıdan mora doğru aydınlichkeit zemin üzerinde siyah franjlar aşağıdaki şekilde görüldüğü gibi oluşur :



Şekil :II.3.1. Spektrometrede görülen eşit renk mertebe franjları

Filmin d kalınlığının meydana getirdiği setten dolayı m_1 mertebedeki λ_1 dalga boyunda yer alan franj $\Delta\lambda_1$ kadar kayar ve Şekil.II.3.1.deki gibi yivli bir spektrum oluşur. m_1 mertebesi için hava kamاسının optik yolu Chava için $n = 1$ alınarak :

$$2d_2 = m_1 \lambda_1 \Rightarrow d_2 = \frac{m_1 \lambda_1}{2}$$

II. 3. B1.

ve d kalınlığındaki filmden dolayı aynı mertebedeki ikinci hava kamasına ait optik yol

$$2d_1 = m_1 \lambda_1 \Rightarrow d_1 = \frac{m_1 \lambda_1}{2}$$

II. 3. B2.

dir. Film kalınlığı d_f

$$d_f = d_2 - d_1 = \frac{m_1 (\lambda_1' - \lambda_1)}{2} = \frac{m_1}{2} \Delta\lambda_1$$

II. 3. B3.

dir. Bu bağıntıdan d kalınlığını bulabilmek için kalınlığın ölçüldüğü mertebeyi ölçülebilecek büyüklükler cinsinden yazmak gereklidir. Buna göre $(m_1 + 1)$. mertebedeki optik yol

$$2d_1 = (m_1 + 1) \lambda_2$$

II. 3. B4.

yazılabilir ve

$$2d_1 = (m_1 + 1) \lambda_2 = m_1 \lambda_1$$

II. 3. B5.

dir. Burdan

$$m_1 = \frac{\lambda_2}{\lambda_1 - \lambda_2}$$

II. 3. B6.

dir. Bu değer II. 3. B3. de yerine yazılırsa

$$d_f = \frac{\lambda_2}{\lambda_1 - \lambda_2} - \frac{\Delta\lambda_1}{2}$$

II. 3. B7.

bağıntısı elde edilir.

Kullanılan spektrometrenin dalga boyuna göre ayarlanmış taksimat yardımıyla ardarda gelen iki franjin yeri ve franjdaki kayma miktarı dalga boyu cinsinden okunur⁽²⁴⁾. Bu okunan değerlerden II.3.B7 yardımıyla film kalınlığı d , tayin edilir.

C) KALINLIĞIN TARTI YOLUYLA YAKLAŞIK OLARAK BULUNMASI

Buharlaştırılacak madde miktarı tartılarak ölçülür. Buharlaşma esnasında, maddenin atomlarının küresel olarak dağıldığı düşünülüp buharlaşma noktası merkez alındığında R yarıçaplı küre yüzeyinde yoğunlaşan madde miktarı d kalınlığını verir. $4\pi R^2 d$ hacmi, buharlaşan maddenin hacmine eşit olacaktır. Buharlaştırılan maddenin yoğunluğu ρ olmak üzere ölçülen m kütlesinin hacmi m / ρ dur. Buna göre

$$4\pi R^2 d = \frac{m}{\rho}$$

II.3.C1.

bağıntısından d kalınlığı

$$d = \frac{m}{4\pi R^2 \rho}$$

II.3.C2.

olarak bulunur⁽²⁴⁾. Bu yöntemle kalınlık belirlenmesinde kaynak, nokta kaynak olarak kabul edildi. Gerçekte buharlaşmanın spiral filamandan yapılması nokta kaynak modeline uymamakta dir. Ayrıca yoğunlaştırma problemi bu yöntemde ikinci bir hata meydana getirmektedir. Bununla birlikte kaba bir kalınlık tayini için iyi bir yaklaşımdır.

III. DENEYSEL BÖLÜM

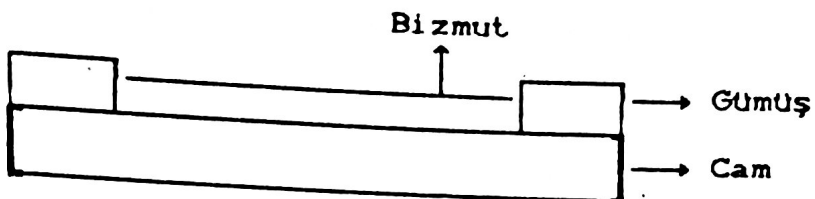
III.1. ÖRNEKLERİN HAZIRLANMASI

Cam taşıyıcı olarak (13,4 * 38) mm. lik UNION firma
sının mikroskop camı kullanıldı. Filmlerin hazırlanması si-
rasında kullanılan taşıyıcıların yapısı, yüzeyi ve temizliği
son derece önemlidir. Çünkü bunlar kaplanan filmin özellikle-
rini çok fazla etkilemektedir. Dayanıklı bir film hazırlaya-
bilmek için taşıyıcının üzerindeki yağ ve subuharı gibi kır-
liliklerin arındırılması gereklidir. Cam taşıyıcılar önce deter-
janlı pamuk ile temizlendi. Sonra saf su ile deterjan kalma-
yacak şekilde yıkandı. Daha sonra ılık kromik asit çözelti
sində 15-20 dakika bekletilip tekrar bol distile su ile
yıkınarak 100 °C daki etüvde kurutuldu. Bu şekilde optik
taşıyıcıların temizlik işlemleri tamamlandı.

Cam taşıyıcılar üzerine 10^{-5} torr luk vakumda termik
buharlaştırımayla örnekler hazırlandı. Termik buharlaşdırılmada
Edwards Model 6E vakum Ünitesi kullanıldı. Filmlerin ve gümüş
elektroolların hazırlanmasında erime noktası burlardan daha
yüksek olan Tungsten flaman kullanıldı. Tungsten spiral pota
lardan, pota numune mesafesi sabit tutularak % 00 safliktaki
Bismut malzemesi buharlaştırıldı. Buharlaştırma esnasında
flaman akımı 11 Amper civarında sabit tutuldu. Buharlaştırma
sureleri 5 - 15 saniye aralığında değiştirilerek farklı
kalınlıkta örnekler elde edildi.

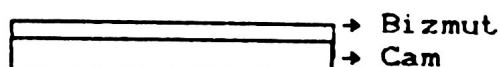
İletkenlik ölçmelerinde kullanılacak örnekler için daha
önce taşıyıcıların her iki tarafında yer alan ve birbirinden
29,8 mm. uzaklıkta, 13,4 mm genişliğinde 1000 A° kalınlığın-

daki gümüş elektrodlar arasına şerit şeklinde Bi filmleri hazırlandı. (Şekil : III.1.1.)



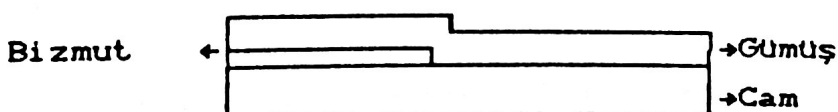
Şekil.III.1.1: İletkenlik ölçümelerinde kullanılan film

Transmitans ölçümelerinde kullanılacak örnekler ise $(13,4 \times 37,9)$ mm. ebatlarındaki çiplak taşıyıcılar üzerine aynı şartlarda hazırlandı (Şekil.III.1.2.).



Şekil.III.1.2.: Transmitans ölçümleri için kullanılan film

Interferometrik ölçümler için yarısı Bismut kaplanan taşıyıcı daha sonra tamamen gümüşle kaplanmıştır.

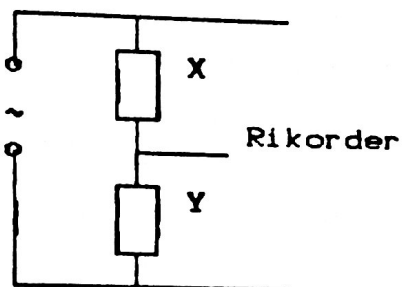


Şekil.III.1.3.: Interferometrik ölçümler içinkullanılan film

Bu üç tip örnek aynı zamanda aynı buharlaştırma şartla rında hazırlandı. Termik buharlaştırma yöntemiyle hazırlanan örnekler ölçümleri yapmak üzere vakumdan çıkarıldı. Bu çıkarılma anı ile ilk ölçüm zamanı mümkün olduğu kadar kısa tutulmaya çalışıldı.

III.2. İLETKENLİK ÖLÇMELERİ

İletkenlik ölçmeleri oda sıcaklığında yapıldı. Bu ölçümlerde direnç değerlerine göre seçilen 708668 nolu Leads & Northrup Co. ait standart dirençler kullanıldı. Standart dirençler 2 k.ohm. ve 3 k.ohm. seçildi. Şekil.III.2.1. deki düzenek kullanıldı.



Şekil.III.2.1.: İletkenlik ölçüm seti.

Burada Hewlett Packard firmasına ait 7035 B X-Y Rikorder kullanıldı. Rikorderin Y ekseni voltaj ekseni olarak bırakıldı. X ekseni akım eksenine dönüştürüldü. Bu akım değeri X eksenine bağladığımız standart dirence bağlı olarak tayin edildi. Ölçmelerde Philips PE 4830 D.C. gerilim kaynağının kullanıldığı. Her örnek için farklı zaman aralıklarında I-V karakteristikleri çizildi. Bunlardan bir örneğe ait I-V değişimi Şekil.I de verilmektedir. İletkenlik ölçmelerinde başlangıç zamanı vakumdan çıkıştırma anı olarak alındı.

III.3. SPEKTROFOTOMETRİK ÖLÇÜMELER

Varian series 634 UV - VISIBLE tipi bir spektrometre kullanılarak görünür ve yakın UV bölgesinde değişik kalınlıktağı Bismut filmlerine ait Transmitans eğrileri çizdirildi. (Şekil.III)

Bismut filmlerine ait transmitans değerinin hesabı :

Spektrometrede referans ve örnek üzerine düşen iki ışından referansın geçirgenliği % 100 alınarak buna göre örneğin geçirgenliği tayin edildi. Referans olarak taşıyıcı camlar kullanıldı. Teoride T_1 transmitansı hava-Bi filmi-hava ortamı için hesaplanmaktadır. Ölçmelerde ise cam referansına göre hava - Bi filmi - cam - hava sistemi kullanılmaktadır. Buna göre teorik hesaplarla uyuşmak için ölçümelerde bir dönüşüm gereklidir.

Bu film sisteminde T_2 cam ortamındaki izafî ışık şiddetini, T_1 hava ortamına geçen izafî ışık şiddetini göstermek üzere bu sistemde ölçülen izafî ışık şiddeti :

$$T_1 = T_2 - T_2 R \quad \text{III.3.1.}$$

dir veya cam ortamındaki izafî ışık şiddeti

$$T_2 = \frac{T_1}{1 - R} \quad \text{III.3.2.}$$

dir. Referans olarak kullanılan cama gelen izafî ışın şiddeti E'_0 ve geçen izafî ışın şiddeti E'_o olmak üzere geçen izafî ışın şiddeti :

$$E'_o = E'_0 (1-R)^2 \quad \text{III.3.3.}$$

veya gelen izafî ışın şiddeti:

$$E'_o = \frac{E'_0}{(1-R)^2} \quad \text{III.3.4.}$$

dir. Teorik olarak hesaplanan T_{teo} değeri, filmden çıkan T_2 ışının E_0 gelen ışınına oranı olduğundan T_{teo}

$$T_{\text{teo}} = \frac{T_2}{E_0} = \frac{\frac{T_1}{(1-R)}}{\frac{E'_0}{(1-R)^2}} = \frac{T_1 (1-R)}{E'_0}$$

III.3.5.

olarak bulunur. Burda T_1/E'_0 oranı spektrometrede ölçülen değerdir. Dolayısıyla

$$T_{\text{teo}} = T_{\text{ölc}} (1-R)$$

III.3.6.

olur. Böylece ölçülen transmitans değeri teorik hesaplarda kullanılan ifadeye dönüştürülmüş olur. Burda cam için $n = 1,5$ alınıp $R = 0,04$ hesaplanarak

$$T_{\text{teo}} = 0,96 T_{\text{ölc}}$$

III.3.7.

dönüştümü yapıldı. Bu dönüşüm kullanılarak ölçülen $T_{\text{ölc}}$ değerinden teorik T_{teo} değerine geçildi. Bu T_{teo} değerine tekabül eden d_f film kalınlığı Şekil III. daki Bi için verilen değişimden elde edildi. Bu şekildeki (\circ) yuvarlak noktalar deneySEL sonuçlara tekabül eden transmitans değerleridir. Bu şekilde aynı zamanda Bi-BIO film sisteme ait teorik transmitans değişiminde görülmektedir. Bu teorik değişimler eliptik ölçümlerden elde edilen kırılma ve absorbasyon indisi esas alınarak teorik bölümde verilen ifadeler yardımıyla hesaplandı.

III.4. İNTERFEROMETRİK ÖLÇMELER VE ŞİŞME FAKTÖRU TAYINI

Filmelerin kalınlığı Tolansky teknigiyle çalışan Hilger ve Watts N 130 tipi interferometreyede ölçüldü. II.3.B. de verilen teknikle kalınlık tayin edildi.

Bizmut filmi üzerinde oluşan oksit filmi aynı zamanda metal filminde incelmeye neden olmaktadır. Bu incelme iletkenlik ölçmelerinde direncin artması ile gözlenmektedir. Optik yöntemle bu oksidasyon olayının incelenmesi için okside dönüşen metal miktarının belirlenmesi gerekmektedir. d_m başlangıçtaki metal kalınlığı, d_{ox} oksitlendikten sonraki metal kalınlığı, d_{ox} oksit kalınlığı ve k şişme faktörü olmak üzere

$$d_m = d_m + \frac{d_{ox}}{k}$$

III.4.1.

dir⁽²⁵⁾. k ile gösterdiğimiz şişme faktörünü tayin etmek için metal kısmının tamamen oksitlendiğini kabul edersek:

$$k = \frac{d_{ox}}{d_m}$$

III.4.2.

olur. Şişme faktörünün tayini için vakumda termik buharlaştırma ile aynı kalınlıkta iki Bizmut filmi hazırlanıp birinin kalınlığı hemen, diğerininki daha sonra ölçüldü. Bu değerler

$$d_{ox} = 172,5 \text{ Å}^{\circ}$$

ve

$$d_m = 155,6 \text{ Å}^{\circ}$$

olarak tayin edildi. Bunlara göre k şişme faktörü

$$k = 1,101$$

olarak bulundu.

TABLO 1

 $\lambda = 6325 \text{ A}^{\circ}$ (dalga boyu)

$$\rho_0 = 11,5 \times 10^{-3} \text{ ohm-cm.}$$

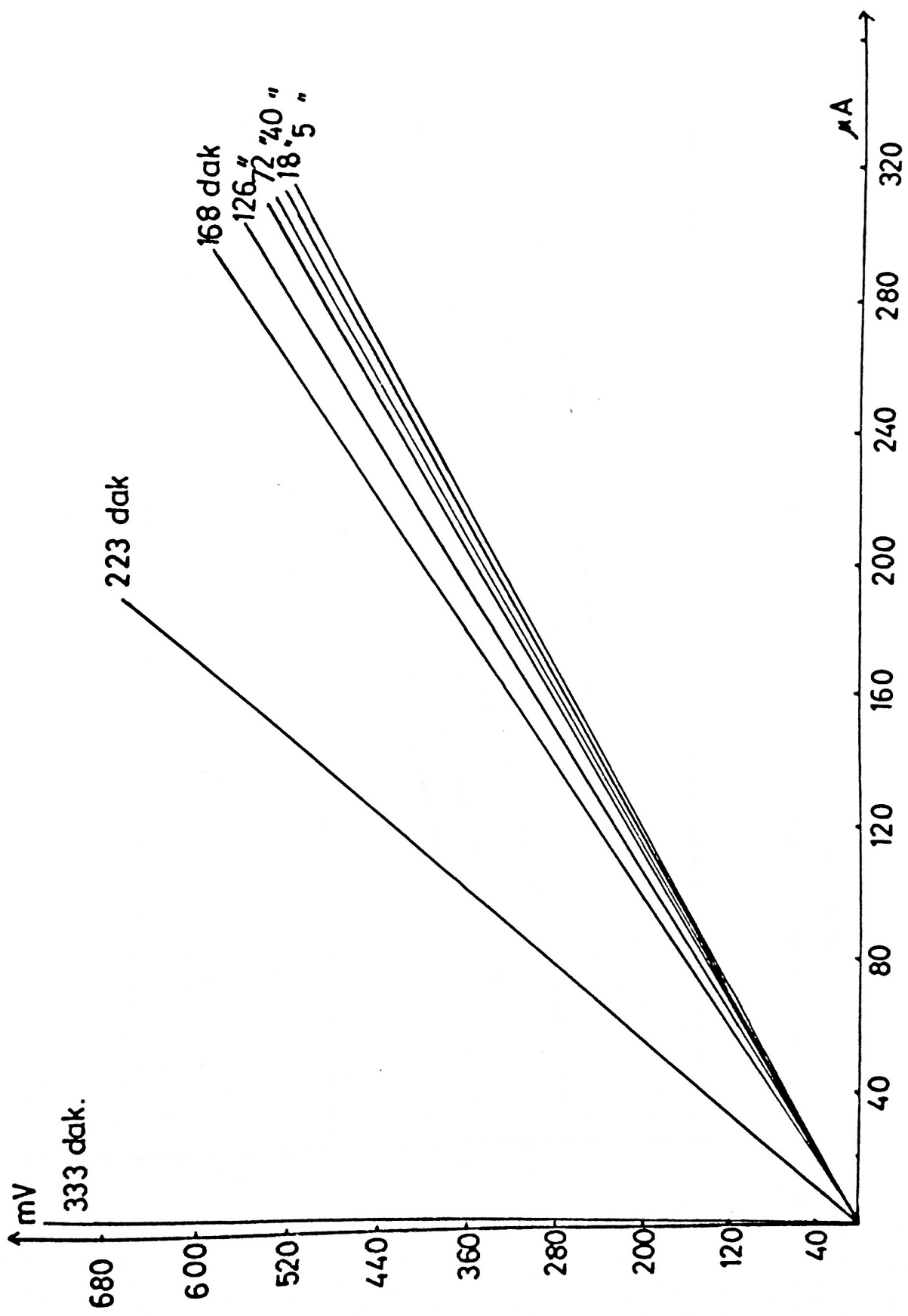
<u>T%</u>	<u>t</u>	<u>R</u>	<u>d₁</u>	<u>d₂</u>	<u>d₃</u>	<u>d₄</u>	<u>d₅</u>	<u>d₆</u>	<u>ρ</u>	<u>σ/σ_0</u>
8,06	3	0,158	589	590	580	128	653	539,6	38,31	0,3001
	15	0,158				140		528,7	37,54	0,3069
	25	0,158				144		525,1	37,28	0,3084
	40	0,158				145		524,2	37,22	0,3089
	70	0,158				146		523,9	37,15	0,3094
	100	0,158				147		522,4	37,09	0,3100
	3,36	0,214	618	510	590	128	695	519,6	49,98	0,2900
	15	0,297				140		508,7	54,18	0,2122
9,96	25	0,297				144		505,1	53,79	0,2197
	40	0,297				145		504,2	53,70	0,2141
	60	0,297				145,5		503,8	53,65	0,2149
	80	0,297				146,5		502,9	53,55	0,2147
	100	0,297				147		512,4	120,6	0,0904
	3	0,859	210	320	350	128	445	929,6	127,2	0,0949
	20	0,859				149		916	121,9	0,0948
	35	0,859				145		914,2	121,9	0,0948
14,5	50	0,859				145		914,2	121,9	0,0948
	65	0,859				146		913,9	120,9	0,0951
	100	0,859				147		912,4	120,6	0,0954
	3	0,902	207	250	278	128	375	259,6	103,1	0,1099
	20	0,902				143		246	99,7	0,1154
	35	0,902				145		244,2	98,9	0,1162
	50	0,902				145		244,2	98,9	0,1162
	70	0,999				146		243,9	102,7	0,1121
24,7	90	0,999				147		242,4	102,9	0,1124
	3	1,142	236	167	183	113	299	189	96,85	0,1187
	9	1,140				184		171,6	88,38	0,1298
	20	1,100				149		169,5	85,86	0,1340
	35	1,082				145		161,7	78,61	0,1464
	55	1,099				145,5		161,3	79,19	0,1459
	80	1,108				146		160,8	80,10	0,1486
	100	0,99	144	180	145	185	255	189,9	55,7	0,2066
21,1	20	0,99				149		126	52,6	0,2182
	30	0,99				144,5		124,7	52,1	0,2207
	45	1,09				145		124,2	60,8	0,1890
	60	1,09				145,5		123,8	60,6	0,1897
	80	1,14				146,5		122,8	62,6	0,1834
	95	1,16				147		122,4	63,6	0,1808

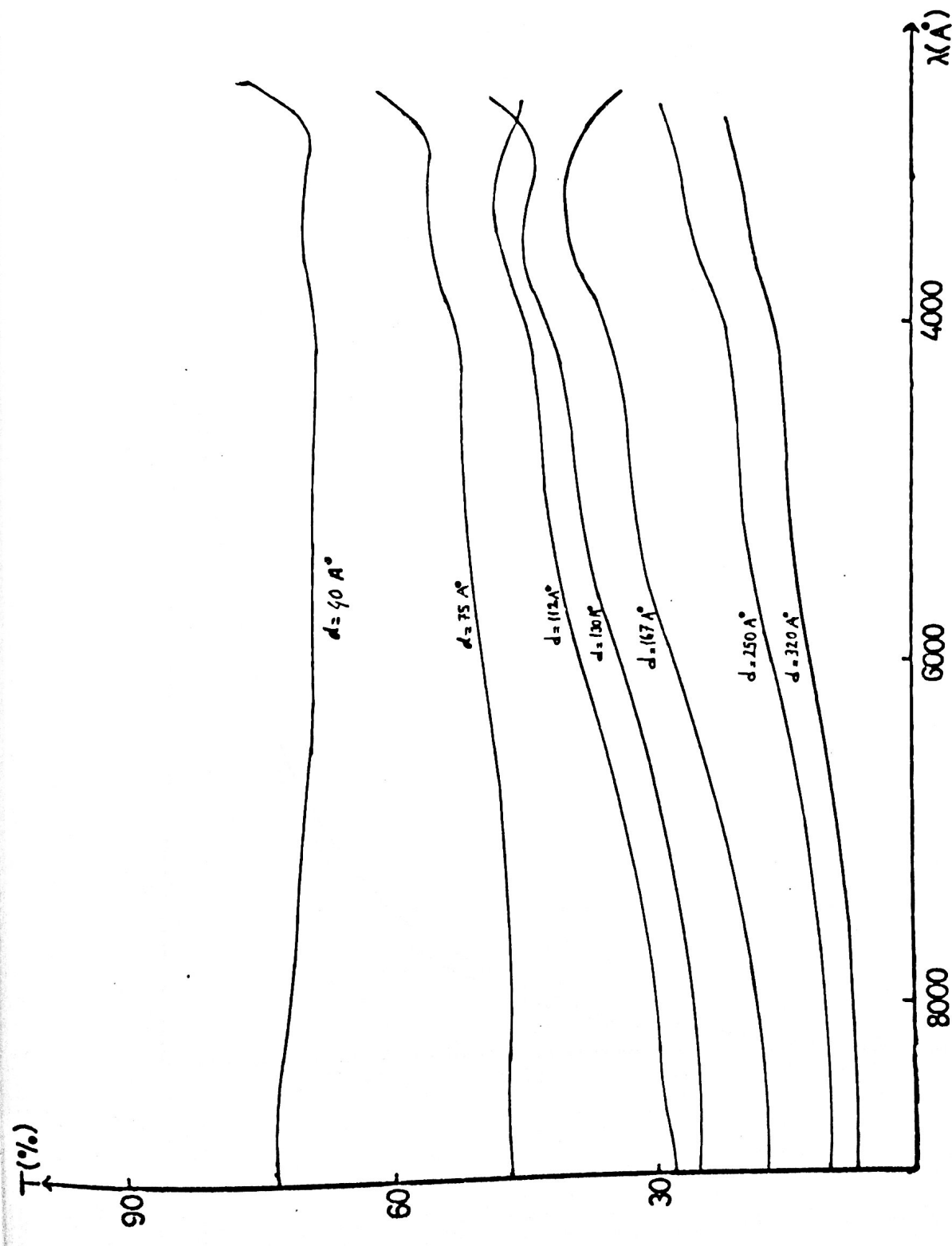
<u>TC%</u>	<u>t</u>	<u>R</u>	<u>d₁</u>	<u>d₂</u>	<u>d₃</u>	<u>d₄</u>	<u>d₅</u>	<u>d₆</u>	<u>ρ</u>	<u>σ/σ₀</u>
95,4	5	1,64	199	112	125	128	238	122,1	89,97	
	19	1,69				197		113,9	86,49	0,1929
	18	1,69				142		100,4	89,07	0,1985
	23	1,69				149,5		108,1	82,05	0,1401
	33	1,74				145		106,7	89,48	0,1979
	48	1,74				145		106,7	89,48	0,1979
	68	1,77				146		105,8	84,15	0,1966
	78	1,77				146,5		105,3	89,79	0,1979
46,9	9	2,78	190	75	85	115	200	96,9	120,18	0,0956
	9	3,01				134		79,1	107,09	0,1075
	20	3,19				149		71	100	0,1149
	35	3,26				145		69,2	101,3	0,1195
	65	3,32				146		68,9	102	0,1127
66,1	4	19,28	147	40	40	125	165	52,9	435,2	0,0264
	10	23,31				135		43,2	433,4	0,0254
	15	26,06				140		38,7	434,1	0,0259
	25	30,80				144		35	478,8	0,024
	35	35,85				145		34,2	544,4	0,0211
	45	40,4				145		34,2	622,3	0,0184
	59	51,94				145,5		33,8	789,2	0,0145
	85	79,54				147		32,4	1160,4	0,0099

Burda $t=t(dak)$, $R=RC(10^3 \text{ ohm})$, $d_1=d_{IN}(A^0)$, $d_2=d_T(A^0)$, $d_3=d_{T+OX}(A^0)$,
 $d_4=d_{OX}(A^0)$, $d_5=d_B(A^0)$, $d_6=d_m(A^0)$, $\rho=\rho(10^{-3} \text{ ohm} \cdot \text{cm})$ dir

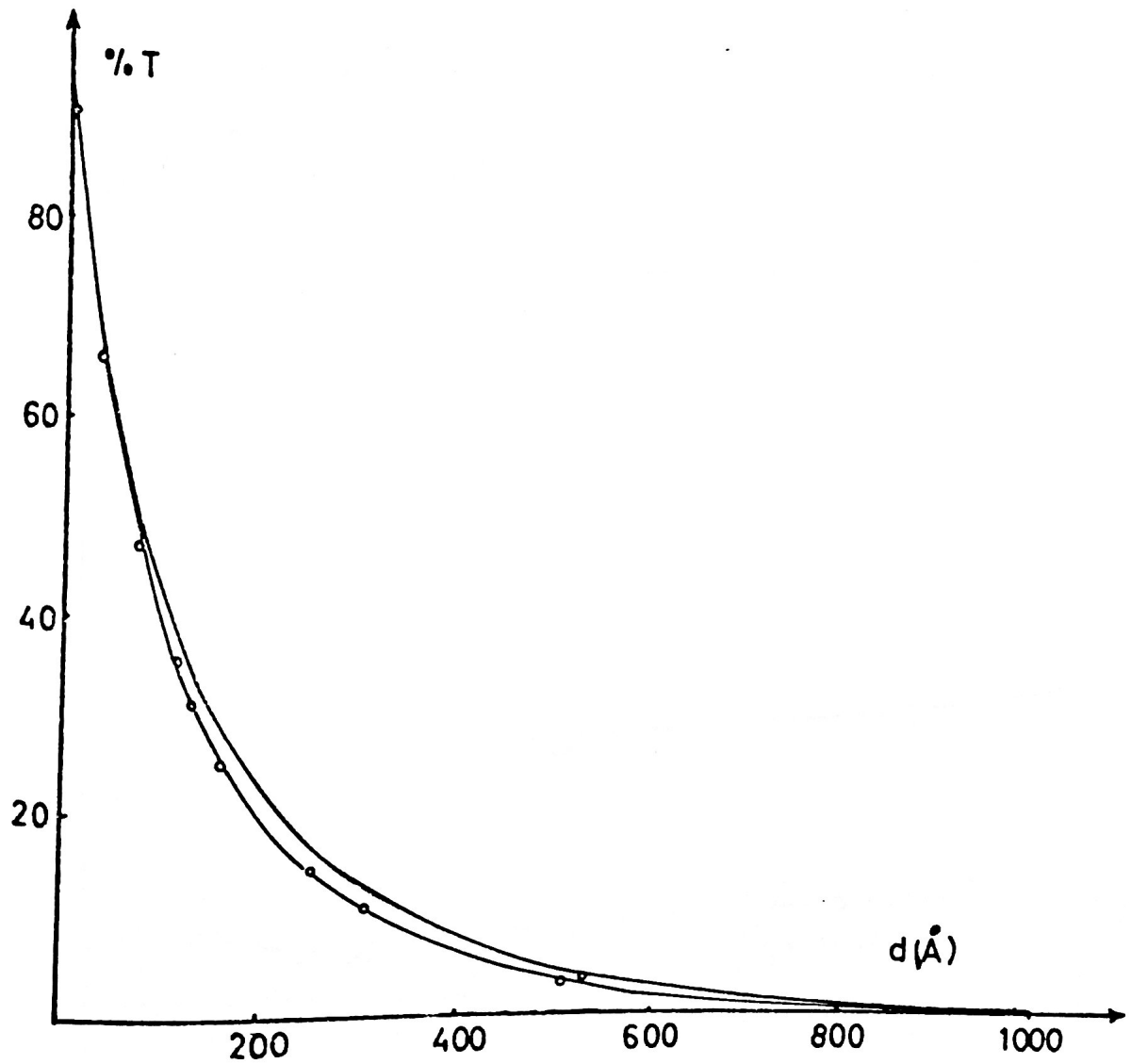
TABLO 2

<u>t</u>	$F = \left(\frac{1}{t^3} - \frac{1}{t^5} \right) (1 - e^{-kt})$		
	<u>k = 0,5</u>	<u>k = 1</u>	<u>k = 1,5</u>
1	0	0	0
1,1	0,055	0,087	0,105
1,2	0,079	0,122	0,147
1,3	0,088	0,134	0,159
1,4	0,090	0,134	0,156
1,5	0,086	0,127	0,147
1,6	0,081	0,118	0,135
1,7	0,076	0,109	0,129
1,8	0,070	0,098	0,110
1,9	0,064	0,089	0,099
2	0,059	0,081	0,089
3	0,025	0,031	0,032
4	0,019	0,014	0,013
5	0,007	0,007	0,007
6	0,004	0,004	0,004
7	0,003	0,003	0,003
8	0,002	0,002	0,002
9	0,001	0,001	0,001
10	0,0009	0,0009	0,0009

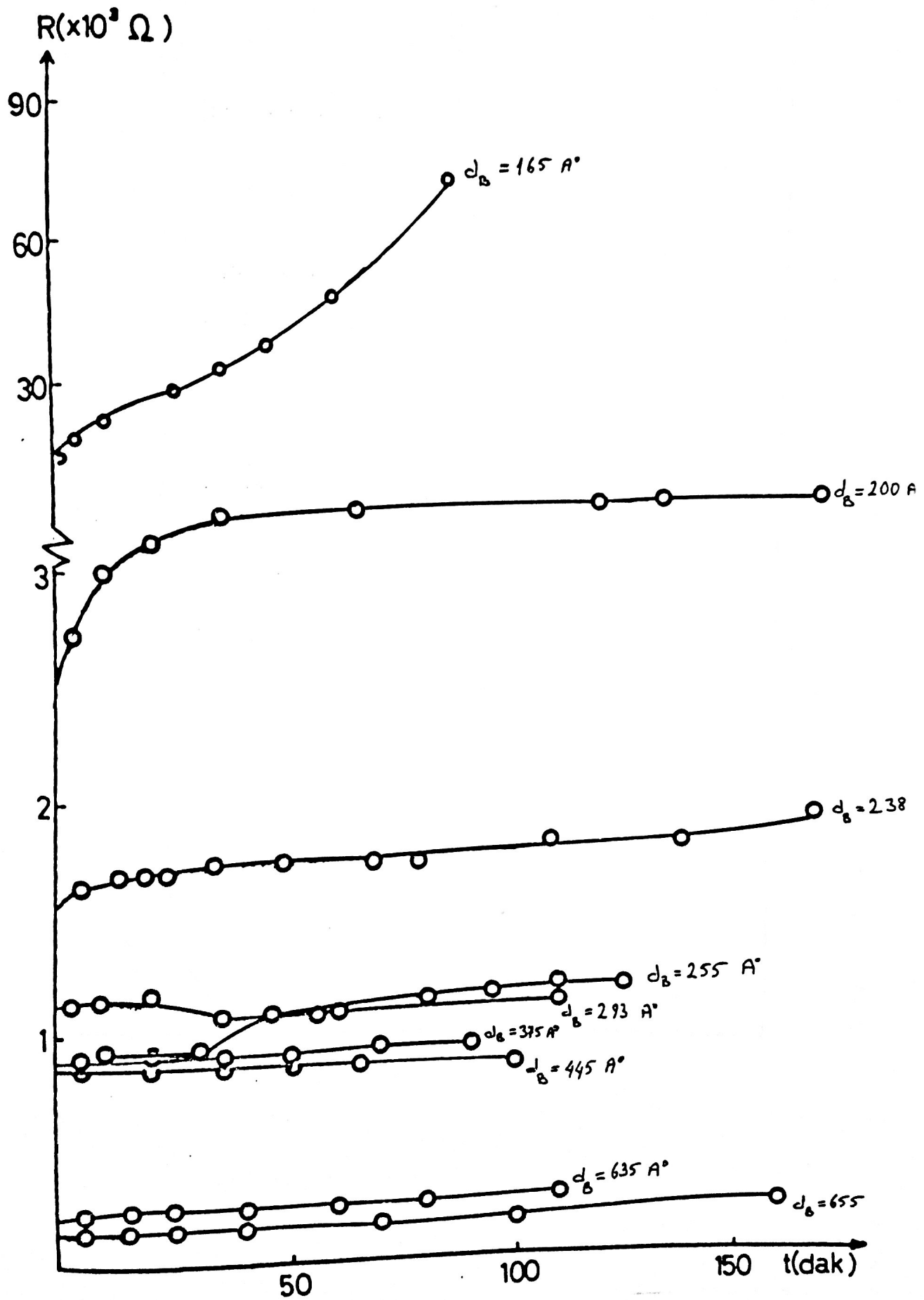




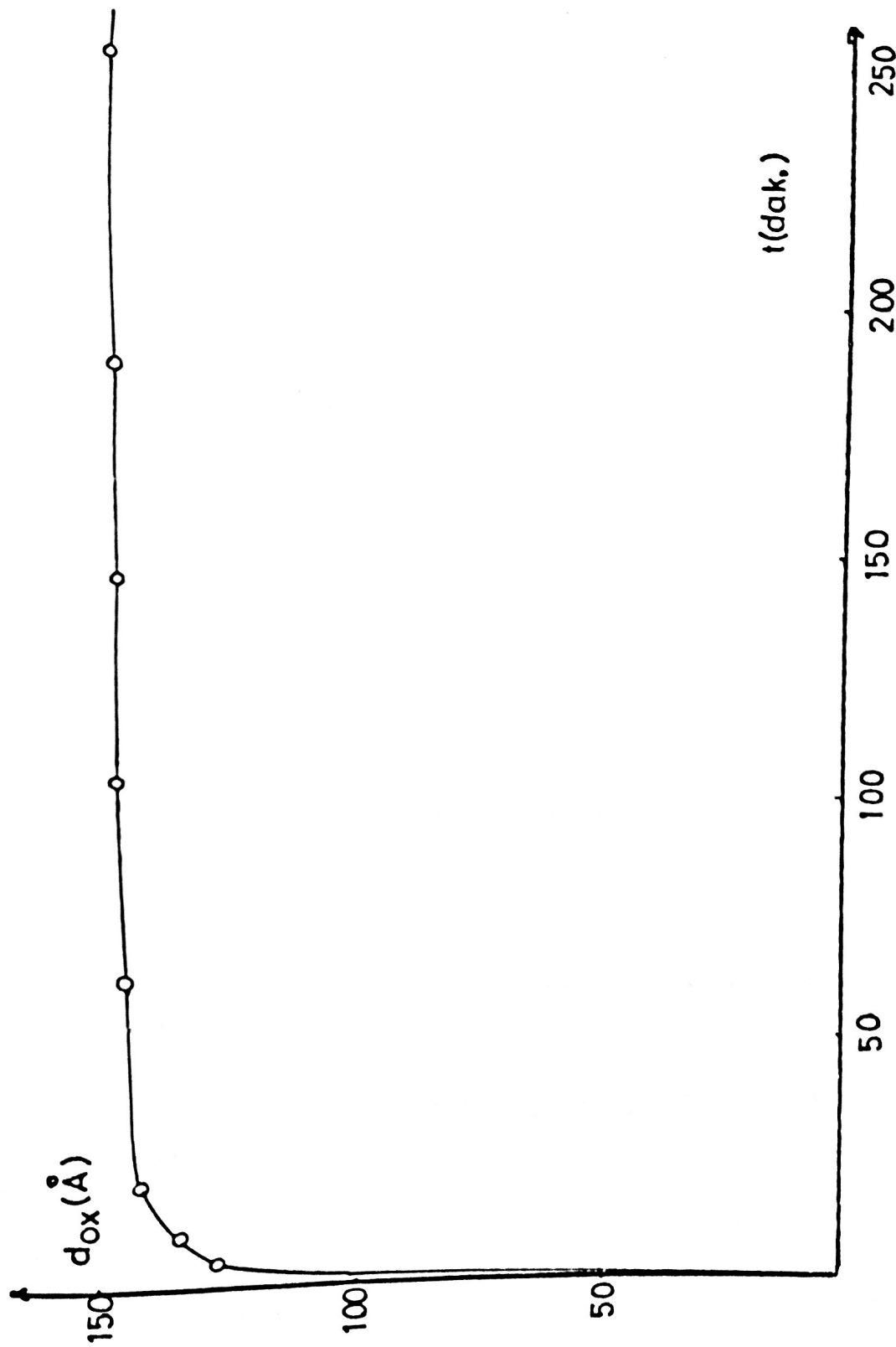
Şekil. II Farklı kalınlıktaki filmlerin dalga boyu transmisyonu değişimi.



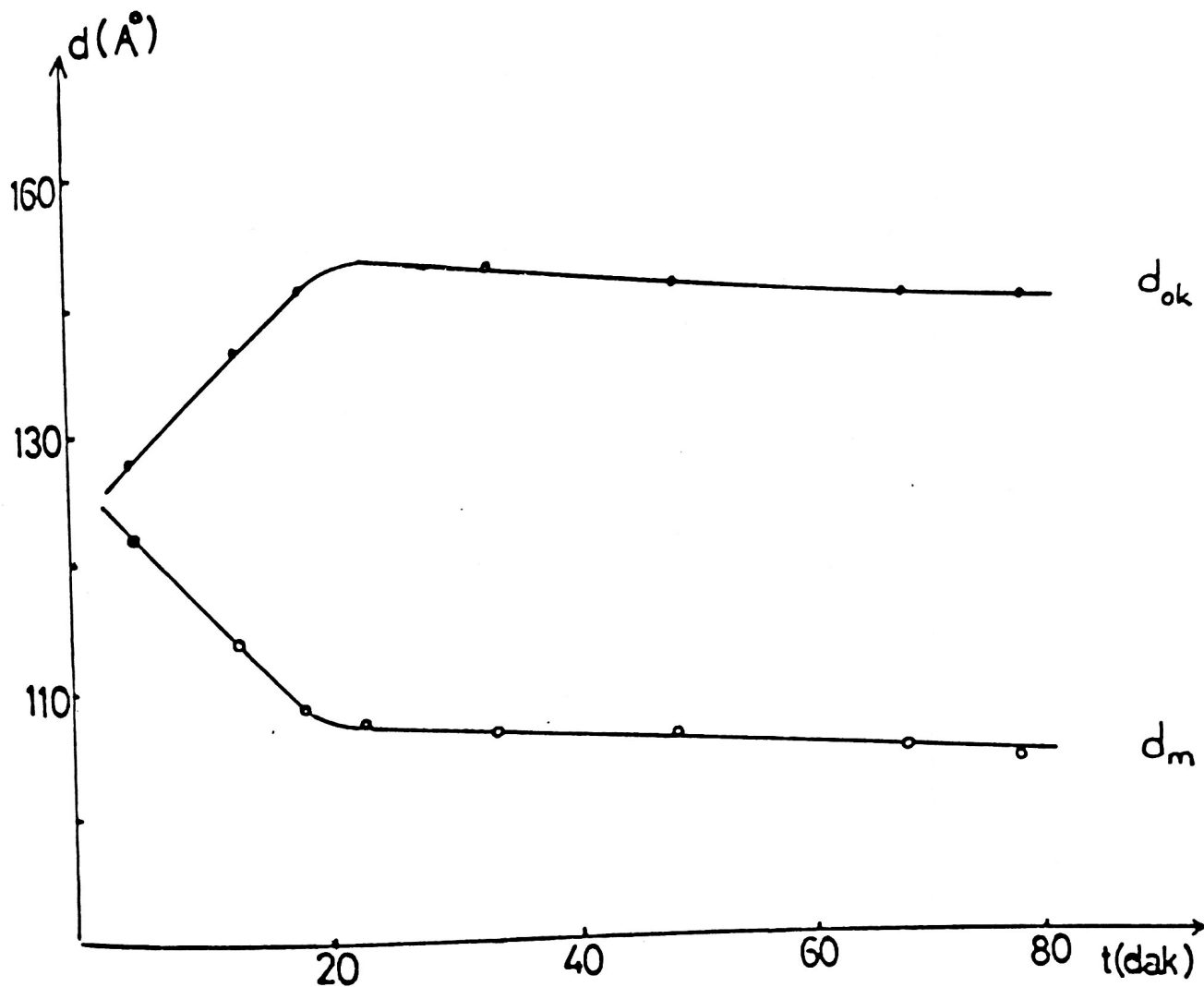
Sekil.III Bi ve Bi -BiO_x in kalınlık transmitans değişimi



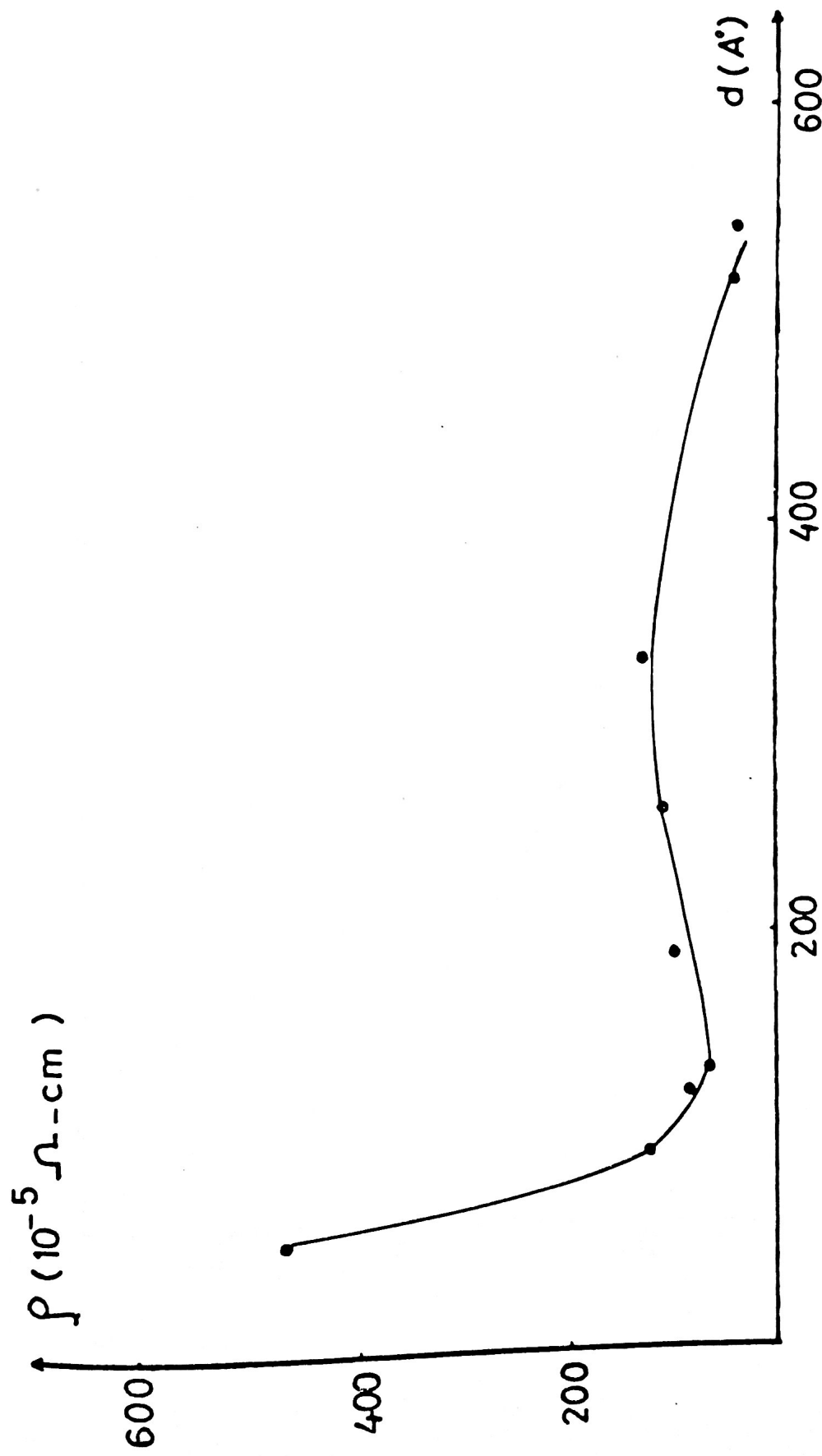
Şekil.IV Farklı kalınlıktaki filmlerin zamanla direncinin değişimi.



Sekil. V Zamanla oksit kalınlığının değişimi

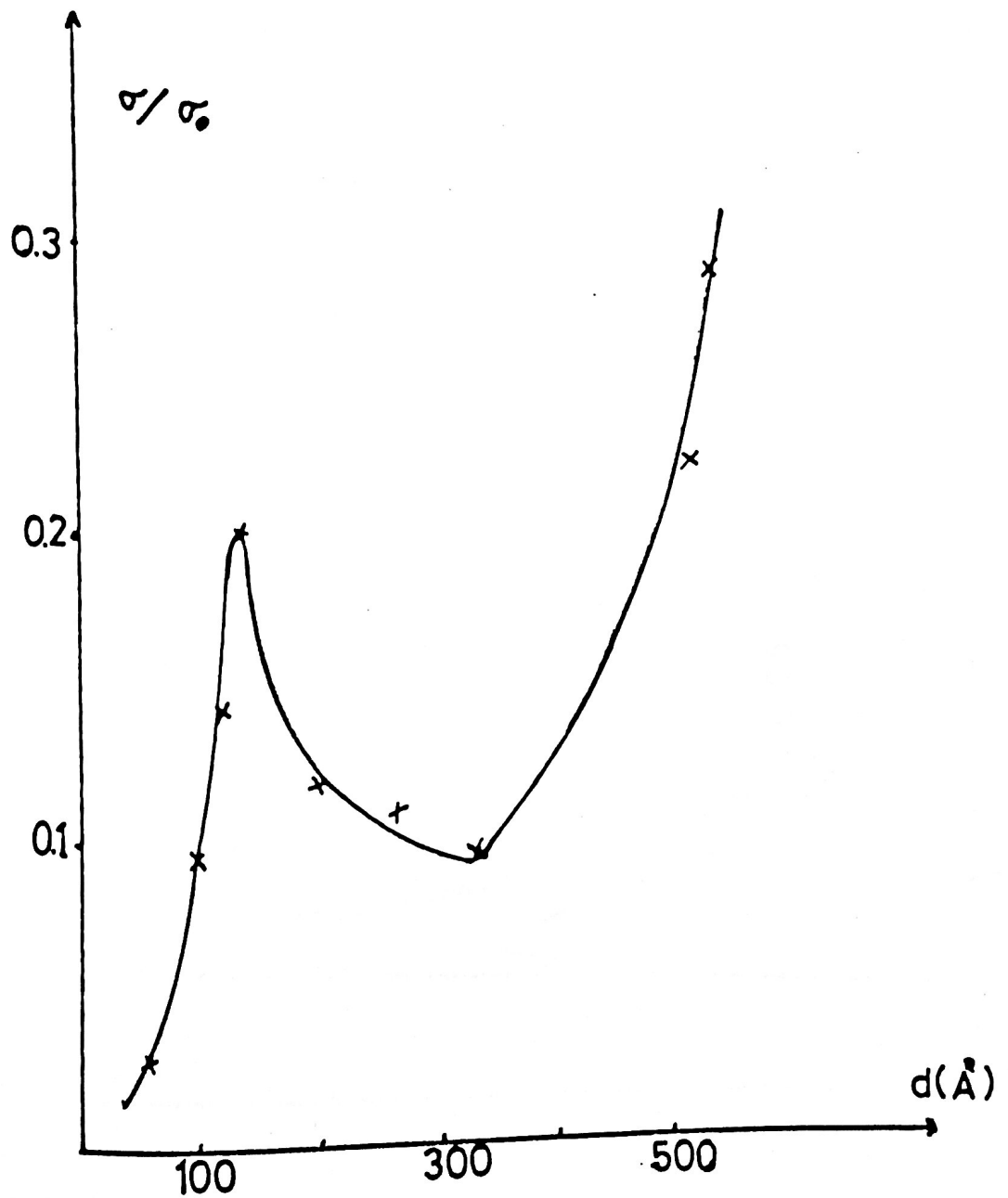


Sekil.VI Bir örnek için zamanla d_{ox} ve d_m kalınlıklarının değişimi

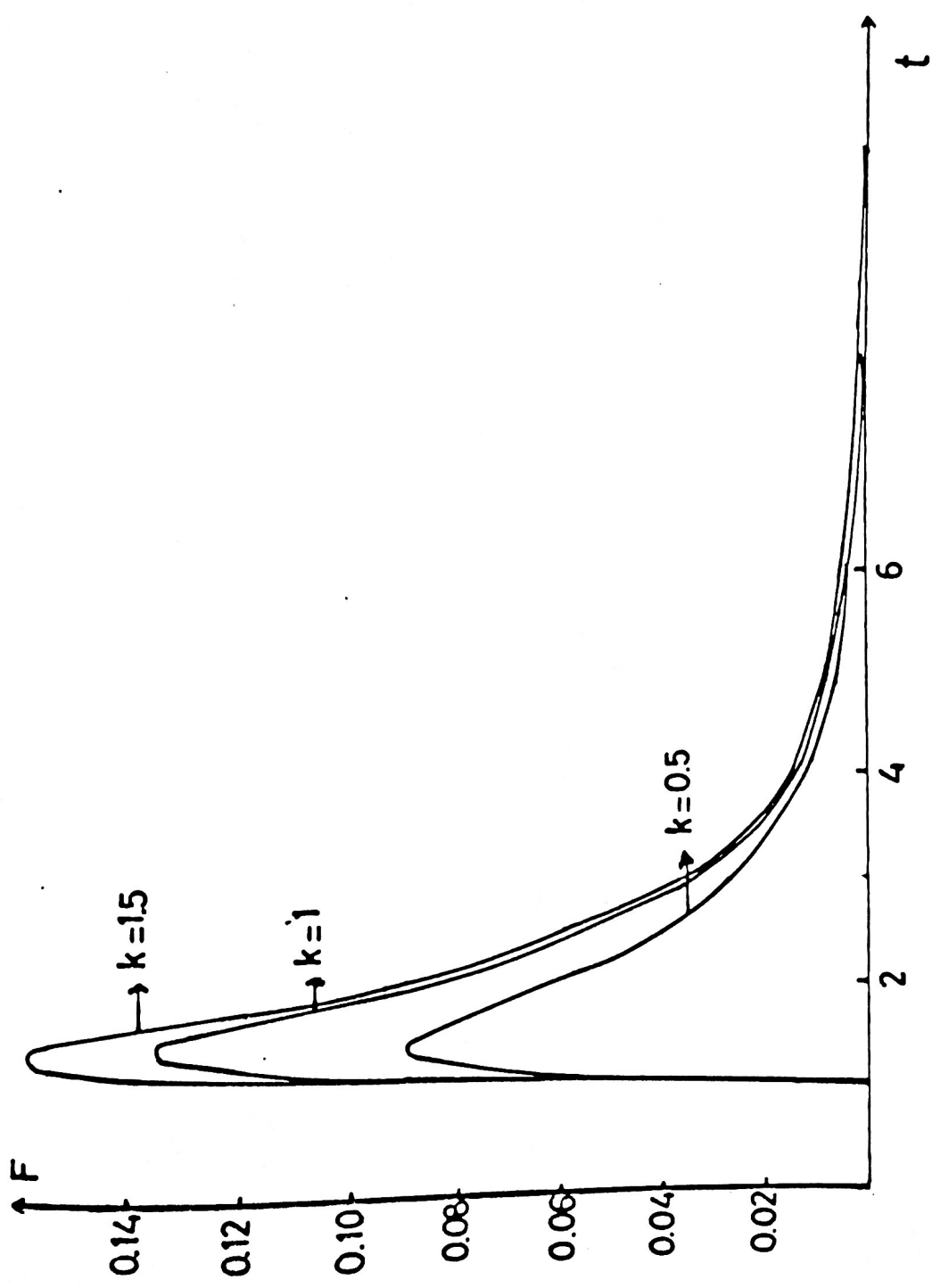


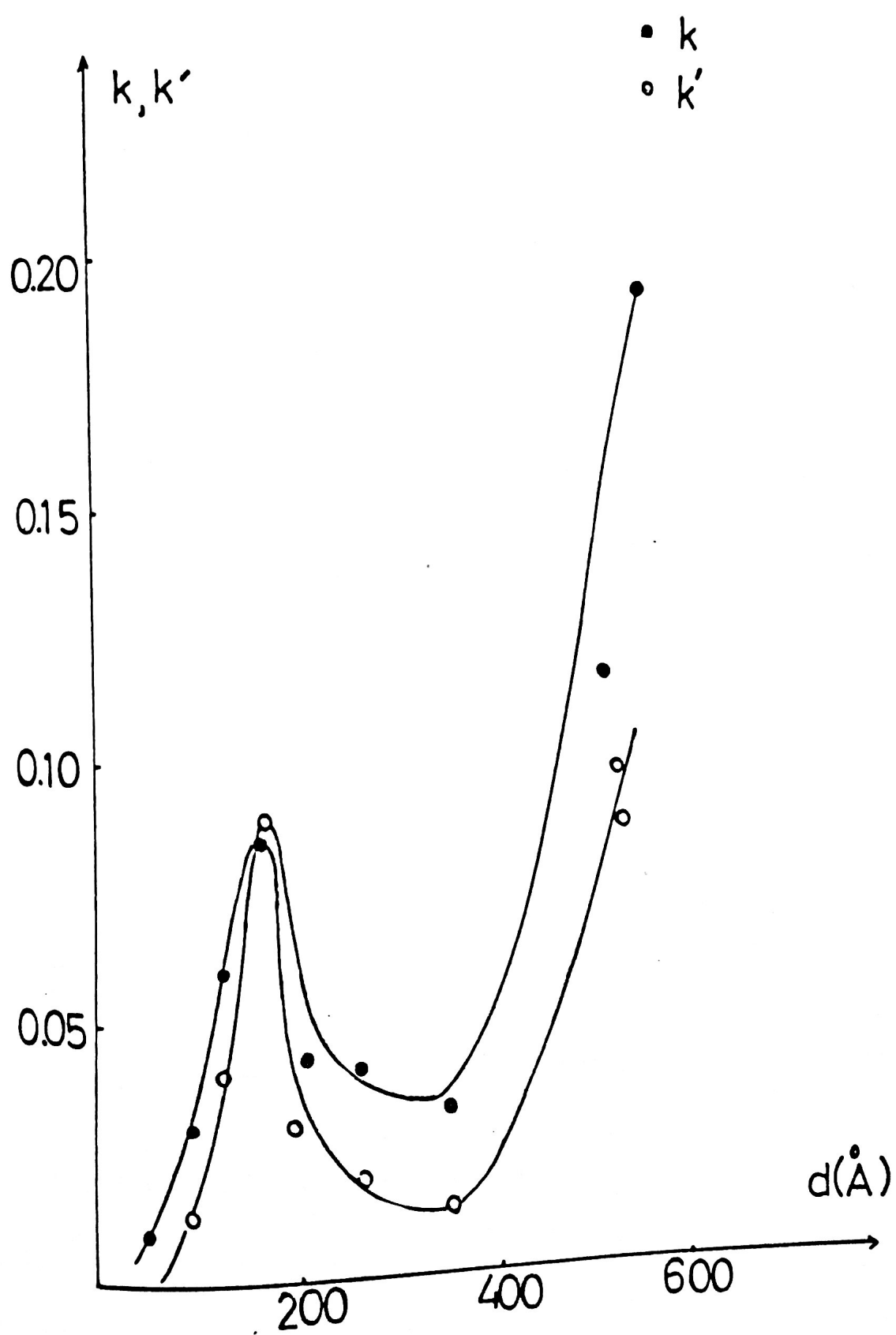
Şekil. VII Kalınlıkla özdirenç değişimi

30

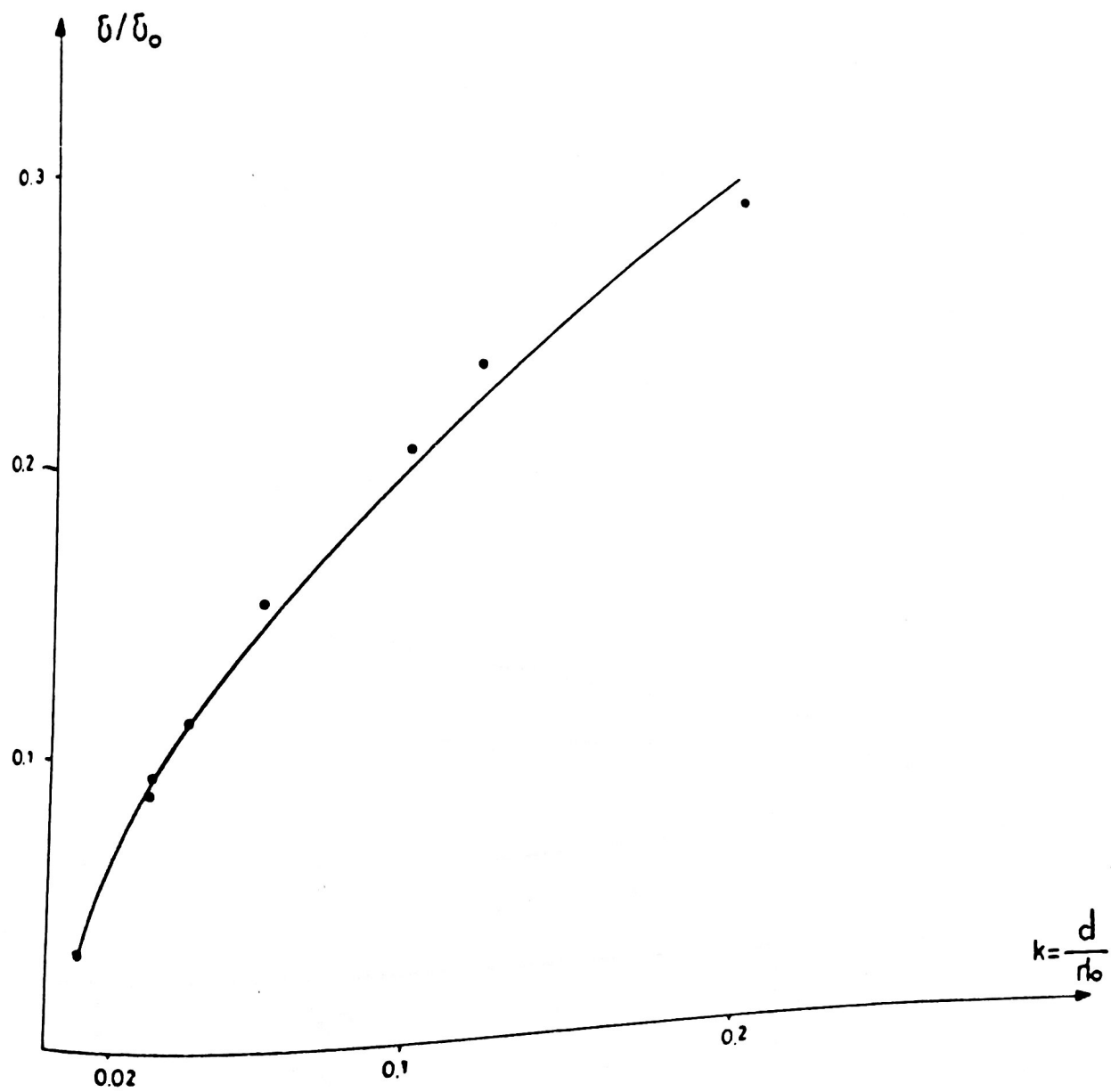


Şekil.VIII Kalınlıkla σ / σ_0 oranının değişimi

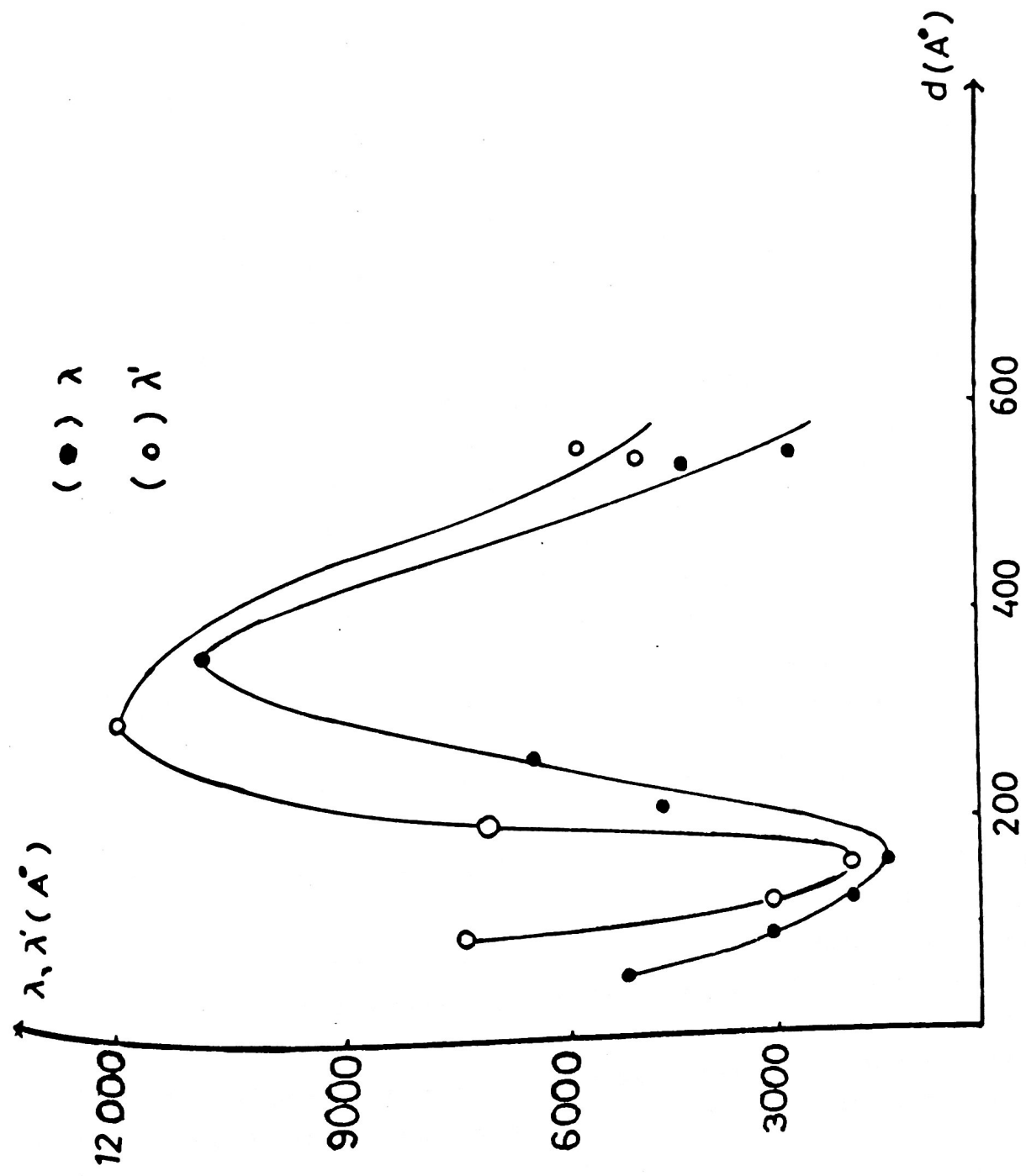




Sekil.X Kalinlikla k , k' de\c{g}isimi



Sekil. X. A k ile σ/σ_0 oranının değişimi



Şekil. XI Kalınlıkla λ, λ' ortalaması serbest yol deqiqisi mi

IV

SONUÇ

10^{-5} Torr'luk basınçta, farklı buharlaştırma sürelerinde hazırlanan Bi filmleri üzerinde yapılan iletkenlik, transmitans ve kalınlık ölçümleri toplu olarak Tablo 1 de verilmektedir. Çizilen I - V karakteristiklerinden bu filmlerin iletkenliklerinin omik olduğu gözlandı. Bu örneklerden birine ait I - V değişimi Şekil I de verilmiştir. Bu şekilde birörneğe ait direncin zamanla artan değişimi gözlenmektedir. Burada vakumdan çıkarılma anından itibaren 5. dakikadan 333. dakikaya kadar eğimdeki değişimlere tekabül eden dirençler 1,64 k.ohm. dan 1,77 k.ohm. a kadar arttığı hesaplandı. Dirençteki bu artmaya bağlı olarak iletkenliğin azaldığı izlendi.

Ayrıca bütün örnekler için direncin zamanla değişimi Şekil IV de verilmiştir. Şekilde görüldüğü gibi $200-500 A^o$ aralığında filmlerde yaklaşık 100 dakikalık sürede fazla bir değişim görülmemektedir. Bu kalınlık aralığındaki filmlerde metal kısmına oranla oluşan oksit kısmının az olması, dolayısıyla metal kalınlığının nisbeten sabit kalması direncin zamanla değişmemesine yaklaşık olarak sabit kalmasına neden olmaktadır. $50 - 200 A^o$ aralığında ise zamanla metal kısmundaki hızlı nisbi azalma, dirençte bariz artmalara sebepl olmaktadır.

Şekil II de aynı örneklerde ait $T-\lambda$ eğrilerinden artan kalınlıklara bağlı olarak transmitansın azlığı görülmektedir. Bu filmler için teorik olarak kalınlık transmitans değişimi bir bilgisayar programıyla (EK-2C) hesaplandı. Bu d-T

değişimi Şekil.III da görülmektedir. Şekil.II teki $T-\lambda$ değişimiinde 6325 A° luk dalga boyuna tekabül eden transmitans değerleri alındı. Bu değerler Şekil.III daki Bi filmi için verilen teorik $T - d$ değişimiinde kullanılarak d_T film kalınlığı tayin edildi. d_T kalınlığı yaklaşık olarak 14 dakika sonraki kalınlıktır. Bu süre dalga boyunun 6325 A° mağlomesi için geçen zamandır ve her biri için aynıdır.

Şekil.III ayrıca Bi-BiO_x film sistemine ait $d - T$ değişimi de verildi. Bu hesap Bi üzerinde oluşan BiO_x filminin transmitansa etkisinin anlaşılması için yapıldı. Sonuçta BiO_x filminin transmitansa fazla etkili olmadığı bu grafikten görüldü.

Başlangıç kalınlığı ise deneysel olarak hesaplanan şışme faktörüne ve zamanla oluşan oksit tabakasının kalınlığını göz önüne alarak III.4.I. deki formülle hesaplanmaktadır. Başlangıç kalınlıkları d_0 Tablo 1 de verilmiştir (III.5.).

Metal film kalınlığının değişimine sebep olan oksit tabakasının zamanla oluşumu Şekil.V dan görülmektedir. Burada oksit film kalınlığının ilk yarım saat içinde hızla arttığı ve bundan sonra doyuma ulaşarak yavaşladığı görüldü.

Örneklerden biri için Şekil.V de verilen oksit filmine ait kalınlık değişimi esas alınarak zamanla oksit ve metal kalınlığının değişimi Şekil.VI da verilmiştir. Bu eğrilerde ilk 20 dakika içinde hızlı bir şekilde meydana gelen oksidasyona karşılık d_m metal kalınlığının hızlı bir şekilde azaldığı görüldü. Daha sonraki süreçte oksidasyonun yavaşladığı ve d_{ox} ile d_m kalınlıklarının yaklaşık olarak sabit kaldığı görüldü.

Kalınlıkla(A°) özdirençin(ohm.cm.) değişimi Şekil.VII da, (σ/σ_0)'ında film kalınlığı d ile değişimi Şekil.VIII da verilmiştir.

Fuchs-Sondheimer teorisine göre II.2.5. te verilen bağıntı kullanılarak λ ortalama serbest yolu hesaplanabilir.

II.2.5. denkleminden belirli bir yaklaşımla II.2.6. ve II.2.7. denklemeleri elde edilmektedir. Bu yaklaşık denklemelerden hangisini kullanacağımıza karar vermek için : Çalışmamızda ele alınan film kalınlıklarının $50 - 550 \text{ A}^{\circ}$ arasında olduğu ve litareturen ortalamaya serbest yolun 3000 A° civarında verildiği göz önüne alındı. Buna göre $k \ll 1$ tespit edildi ve bu şartı sağlayan II.2.7. denklemi kullanıldı. II.2.7. denkleminde k değerlerini hesaplayabilmek için bir bilgisayar programı yapıldı (EK-2A). Bu k değerlerinin kalınlıkla değişimi (\cdot) işaretıyla Şekil.X da , σ/σ ile k değişimi Şekil.X.A. da gösterildi. Teorik bölümde verilen $k = d / \lambda$ bağıntısında bilgisayar programıyla bulunan k değerleri kullanılarak hesaplanan λ değerlerinin, kalınlıkla değişimi Şekil.XI de (\cdot) işaretıyla gösterildi.

Ayrıca II.2.5. ekzakt ifadesinde yaklaşım yapılmadan direkt bir bilgisayar programıyla k' değerleri hesaplanabilir. Bunun için EK - 2B de verilen bilgisayar programı yapıldı.

II.2.5. de geçen

$$F = \left[\frac{1}{t^3} - \frac{1}{t^5} \right] \left[1 - e^{-kt} \right]$$

fonksiyonunun k nin çeşitli parametrik değerleri için t ye bağlı olarak hesaplanan sonuçları Tablo 2 de verildi. Bu değerlerle çizilen Şekil.IX dende görüldüğü gibi $t \sim 10$ civarında iken F fonksiyonunun sıfıra yaklaşığı görülmüyor. Buna göre integralde t nin sınırlarının 1 ile 10 arasında alınması yeterli görüldü. Bu sınır değerleri bilgisayar programında kullanılarak II.2.5. deki eşitliği sağlayan k' değerleri ve buna bağlı olarak λ' değerleri hesaplandı.

Bunların kalınlıkla değişimi sırasıyla Şekil.X ve Şekil.XI de (o) işaretiyile gösterildi. Bu şekillerde k , k' ve λ , λ' nin kalınlıkla değişimlerinin küçük bir kaymaya aynı değişimi verdiği görülmektedir.

Çalışma materyali olarak ele alınan Bismut filmlerinin kalınlıklarına göre ortalama serbest yollarının büyük kaldığı Şekil.XI den görülebilmektedir.

V

TARTIŞMA

Oda sıcaklığında yaptığımız iletkenlik ölçümelerinde ince Bi filmlerinin direnci üzerinde yüzey oksidasyonunun etkili olduğu ortaya çıkmıştır. Bu olay J. L. Cohn ve C. Uher⁽¹⁶⁾in çalışmalarında da gözlenmiş ve burada direncin zamanla değişimi uzun bir zaman aralığında izlendiği için belirli aralıklarda farklı $R = R(t)$ fonksiyonları önerilmektedir. İki ince kalınlık için önerilen bu fonksiyonların artan kalınlıklar bölgesinde geçerli olmadığı çalışmamızda görülmektedir.

Çalışmamızda açık havada yapılan ölçümelerden oksit filmnin etkisi elimine edilerek sırıf metal filme ait özdirencin kalınlıkla değişimleri verildi. Aynı değişimler V. P. Duggal⁽⁹⁾, R. A. Hoffman⁽⁶⁾, V. D. Das⁽⁷⁾ ve N. Garcia⁽²²⁾ nin çalışmalarında da gözlenmiştir. Ayrıca $\rho - d$ değişiminde gözledigimiz dalgalanmalar V. P. Duggal⁽⁹⁾, D. D. Das⁽⁷⁾, ve R. A. Hoffman⁽⁶⁾ tarafından gözlenmiştir. R. A. Hoffman⁽⁶⁾ düşük sıcaklıklara gidildiğinde bu dalgalanmaların daha daginek hale geldiğini ve Fuchs-Sondheimer teorisinin bunu izah edemediği sonucuna varmış. Biz düşük sıcaklıklara inmemizdeki konuda bir yorum yapmadık.

Çalışmamızda film özdirencinin balk haldekinden daha yüksek olduğu görüldü. Özdirencin 150 A° luk kalınlıklara kadar hızla düşüğü, $150 - 300 \text{ A}^{\circ}$ arasında bir max. yaparak bir dalgalanma gösterdiği anlaşılmaktadır. A. F. Mayadas⁽⁹⁾ da bu sonuçları daha önceden bulmuştur.

Sekil. 13-A da verilen $\frac{\sigma}{\sigma_0} - k$ değişimi O. S. Heavens⁽²³⁾ in metal filmler için verdiği değişimle uyuşmaktadır.

K A Y N A K L A R

- 1) O. Oktu, Doçentlik Tezi, Ankara, (1976)
- 2) E. H. Sondheimer, Adv. Phys., 1(1952)1
- 3) A. F. Mayadas ve M. Shatzkes, Phys. Rev. Sect. B, 1(1970)1382
- 4) Yu. F. Komnik ve E. I. Bakhstab, Sov. Phys. JETP, 27(1968)34
- 5) D. D. Thornburg ve C. M. Wayman, Phil. Mag., 20(1969)1153
- 6) R. A. Hoffman ve D. R. Frankl, Phys. Rev. B, 3(1971)1825
- 7) V. D. Das ve N. Soundararajan, Phys. Rev. B, 35(1987)5990
- 8) A. Lal ve V. P. Duggal, Phil. Mag., 22(1970)189
- 9) V. P. Duggal ve R. Rup, J. App. Phys., 40(1968)492
- 10) S. Kochowski, TSF, 28(1975)38
- 11) Yu. F. Ogrin, V. N. Lutskii, M. U. Arifova, V. I. Kovalev, V. B. Sandomirskii ve M. I. Elinson, Sov. Phys. JETP., 26(1968)714
- 12) A. Kawazu, Y. Saito, H. Asahi ve G. Tominaga, TSF, 37(1976)261
- 13) S. Baba, H. Sugawara ve A. Kinbara, TSF, 31(1976)329
- 14) E. P. Fesenko, Sov. Phys. Solid State, 11(1970)2135
- 15) H. Asahi ve A. Kinbara, TSF, (1980)131
- 16) J. L. Cohn ve C. Uher, J. Appl. Phys., 56(1989)2045
- 17) V. D. Das ve S. Vaidehi, J. of Materials Sci., 19(1984)1185
- 18) L. S. Hsu, Y. Y. Chang, C. S. Young ve P. K. Tseng, J. App. Phys., 47 (1976)2359
- 19) W. R. Beam, Electronics of Solids, 1965
- 20) L. I. Maissel ve R. Glang, Handbook of Thin Film Technology, 1970
- 21) A. J. Dekker, Solid State Phys (1959)
- 22) N. Garcia, Y. H. Kao, M. Strongin, Phy. Rev. B, 5(1972)2029
- 23) O. S. Heavens, TFP, (1970)
- 24) H. Birey, İnce Film Optiği I, İstanbul(1977)
- 25) H. Birey, J. Appl. Phys., 50(1979)2906

$$EK = 1 A$$

$$\left(\frac{eE}{mv_z} \right) \left(\frac{\partial f_1}{\partial v_x} \right) = \frac{\partial f_1}{\partial z} + \frac{f_1}{v_z \tau} \rightarrow f_1(v, z) = ?$$

$$y' + p(z) y = Q(z) \quad / * e^{\int p(z) dz}$$

$$y e^{\int p(z) dz} + p(z) e^{\int p(z) dz} y = Q(z) e^{\int p(z) dz}$$

$$\frac{d}{dz} \left(y e^{\int p(z) dz} \right) = y' e^{\int p(z) dz} + y e^{\int p(z) dz} p(z)$$

$$\frac{d}{dz} \left(y e^{\int p(z) dz} \right) = Q(z) e^{\int p(z) dz}$$

$$\int d \left(y e^{\int p(z) dz} \right) = \int Q(z) e^{\int p(z) dz} dz$$

$$y e^{\int p(z) dz} = \int Q(z) e^{\int p(z) dz} dz$$

$$y = e^{-\int p(z) dz} \int Q(z) e^{\int p(z) dz} dz$$

$$P(z) = \frac{1}{\tau v_z}, Q(z) = \frac{eE}{mv_z} \frac{\partial f_0}{\partial v_x}, y = f_1$$

$$f_1 = e^{-\int \frac{dz}{\tau v_z}} \int \frac{eE}{mv_z} \frac{\partial f_0}{\partial v_x} e^{\int \frac{dz}{\tau v_z}} dz$$

v_z , z yönünde noktadan noktaya aynı kalıyor

$$f_1 = e^{-\frac{z}{\tau v_z}} \frac{eE}{mv_z} \frac{\partial f_0}{\partial v_x} \int e^{\frac{z}{\tau v_z}} dz$$

$$f_1 = e^{-\frac{z}{\tau v_z}} \frac{eE}{mv_z} \frac{\partial f_0}{\partial v_x} \left[\tau v_z \left(e^{\frac{z}{\tau v_z}} + F(v) \right) \right]$$

$$f_1 = \frac{eE\tau}{m} \frac{\partial f_0}{\partial v_x} \left[1 + F(v) e^{-\frac{z}{\tau v_z}} \right]$$

EK - 1.B

Akım yoğunluğu

$$J = -2e \left(\frac{m}{h} \right)^3 \int \mathbf{v} \cdot \mathbf{f} d^3v$$

yazılabilir mektedir. Bu denklemde

$$\mathbf{f} = f_0 + f_1(v, z)$$

yerine yazılırsa

$$J = -2e \left(\frac{m}{h} \right)^3 \int \mathbf{v} \cdot (f_0(v) + f_1(v, z)) d^3v$$

f_0 yalnızca $v = |v|$ ye bağlıdır.

$$J_x(z) = -2e \left(\frac{m}{h} \right)^3 \iiint_0^{\omega\pi} \iiint_0^{2\pi} v_x (f_0 + f_1) v^2 dv \sin\theta d\theta d\Phi$$

$$= -2e \left(\frac{m}{h} \right)^3 \left[\iiint_0^{\omega\pi} \iiint_0^{2\pi} v_x f_0 v^2 dv \sin\theta d\theta d\Phi + \iiint_0^{\omega\pi} \iiint_0^{2\pi} v_x f_1 v^2 dv \sin\theta d\theta d\Phi \right]$$

$$I = \iiint_0^{\omega\pi} \iiint_0^{2\pi} v_x f_0 v^2 dv \sin\theta d\theta d\Phi$$

$$v_x = v \sin\theta \cos\Phi, \quad v_y = v \sin\theta \sin\Phi, \quad v_z = v \cos\theta$$

$$d^3v = v^2 dv \sin\theta d\theta d\Phi$$

 2π

$$\int \cos\Phi d\Phi = 0 \Rightarrow I = 0$$

 \circ

$$J_x(z) = -2e\left(\frac{m}{h}\right)^3 \int_0^{\omega\pi} \int_0^{2\pi} \int_{-z}^z v_x f_1^- v^2 dv \sin\theta d\theta d\Phi$$

$$= -2e\left(\frac{m}{h}\right)^3 \left[\int_0^{\omega\pi/2} \int_0^{2\pi} \int_{-z}^z v_x^+ f_1^+ v^2 dv \sin\theta d\theta d\Phi + \right.$$

$$\left. + \int_0^{\omega\pi} \int_{\pi/2}^{2\pi} \int_{-z}^z v_x^- f_1^- v^2 dv \sin\theta d\theta d\Phi \right]$$

$$v_z > 0 \quad \cos\theta > 0 \quad 0 < \theta < \pi/2$$

$$v_z < 0 \quad \cos\theta < 0 \quad \pi/2 < \theta < \pi$$

$$K_1 = \frac{eE\tau}{m} \int_0^{\omega\pi/2} \int_0^{2\pi} \int_{-z}^z v_x \frac{\partial f_0}{\partial v_x} \left(1 - e^{-\frac{z}{\tau v_z}} \right) v^2 dv \sin\theta d\theta d\Phi$$

$$v_x \frac{\partial f_0}{\partial v_x} = \frac{v_x^2}{v} \frac{\partial f_0}{\partial v} = v \sin^2\theta \cos^2\Phi \frac{\partial f_0}{\partial v}$$

$$v = \sqrt{v_x^2 + v_y^2 + v_z^2}, \quad v_x = v \sin \theta \cos \phi,$$

Degenerere bir elektron gazı için :

$$-\int \Psi(v) \frac{\partial f}{\partial v} dv = \Psi(\bar{v})$$

$$K_1 = -\frac{eE\tau\bar{V}^3}{m} \int_0^{\pi/2} \sin^3 \theta \left[1 - e^{-\frac{z}{\tau\bar{V}\cos\theta}} \right] d\theta \int_0^{\pi} \cos^2 \Phi d\Phi$$

aynı şekilde

$$K_2 = -\frac{eE\tau\bar{V}^3}{m} \int_{\pi/2}^{\pi} \sin^3 \theta \left[1 - e^{-\frac{d-z}{\tau\bar{V}\cos\theta}} \right] d\theta \int_0^{2\pi} \cos^2 \Phi d\Phi$$

$$\int_0^{2\pi} \cos^2 \Phi d\Phi = \pi$$

$$J_x(z) = \frac{2\pi e^2 m^2 \bar{V}^3 \tau E}{h^3} \left[\int_0^{\pi/2} \sin^3 \theta \left(1 - e^{-\frac{z}{\tau \bar{V} \cos \theta}} \right) d\theta + \right.$$

$$\left. \int_{\pi/2}^{\pi} \sin^3 \theta \left(1 - e^{-\frac{d-z}{\tau \bar{V} \cos \theta}} \right) d\theta \right]$$

$$\int_0^{\pi/2} \sin^3 \theta d\theta = \int_{\pi/2}^{\pi} \sin^3 \theta d\theta = \frac{2}{3} \quad , \quad \lambda = \bar{V} \tau$$

$$J_x(z) = \frac{4\pi e^2 m^2 \tau \bar{V}^3 E}{h^3} \left[\int_0^{\pi/2} \sin^3 \theta d\theta - \left[\int_0^{\pi/2} \frac{1}{2} \sin^3 \theta e^{-\frac{z}{\lambda \cos \theta}} d\theta + \right. \right.$$

$$\left. \left. \int_{\pi/2}^{\pi} \frac{1}{2} \sin^3 \theta e^{-\frac{d-z}{\lambda \cos \theta}} d\theta \right] \right]$$

$$\int_{\pi/2}^{\pi} \frac{1}{2} \sin^3 \theta e^{-\frac{d-z}{\lambda \cos \theta}} d\theta = ?$$

$\theta \rightarrow \pi - \theta$
 $d\theta \rightarrow - d\theta$

$$\int_{\pi/2}^{\pi} \frac{1}{2} \sin^3 \theta e^{-\frac{d-z}{\lambda \cos \theta}} d\theta = \int_0^{\pi/2} \frac{1}{2} \sin^3 \theta e^{-\frac{z-d}{\lambda \cos \theta}} d\theta$$

$$J_x(z) = \frac{4\pi e^2 m^2 \tau \bar{V}^3 E}{h^3} \left[\int_0^{\pi/2} \sin^3 \theta d\theta - \left[\int_0^{\pi/2} \frac{1}{2} \sin^3 \theta e^{-\frac{z}{\lambda \cos \theta}} d\theta + \right. \right.$$

$$\left. \left. \int_0^{\pi/2} \frac{1}{2} \sin^3 \theta e^{-\frac{d-z}{\lambda \cos \theta}} d\theta \right] \right]$$

$$J_x(z) = \frac{4\pi e^2 m^2 \tau \bar{V}^3 E}{h^3} \left[\int_0^{\pi/2} \sin^3 \theta \left[1 - \left(\frac{1}{2} e^{-\frac{z}{\lambda \cos \theta}} + \frac{1}{2} e^{-\frac{z-d}{\lambda \cos \theta}} \right) \right] d\theta \right]$$

$$J_x(z) = \frac{4\pi e^2 m^2 \tau \bar{V}^3 E}{h^3} \int_0^{\pi/2} \sin^3 \theta \left[1 - \exp \left(-\frac{d}{2\lambda \cos \theta} \right) \operatorname{ch} \left(\frac{d-2z}{2\lambda \cos \theta} \right) \right] d\theta$$

$$\sigma = \frac{1}{Ed} \int_0^d J_x(z) dz$$

$$\sigma = \frac{4\pi e^2 m^2 \tau \bar{V}^3}{h^3 d} \int_0^{\pi/2} \sin^3 \theta d\theta \int_0^d \left[1 - \exp\left(-\frac{d}{2\lambda \cos \theta}\right) \operatorname{ch}\left(\frac{d-2z}{2\lambda \cos \theta}\right) \right] dz$$

$$A = \frac{4\pi e^2 m^2 \tau \bar{V}^3}{h^3}$$

$$\sigma = \frac{A}{d} \left[\int_0^{\pi/2} \sin^3 \theta d\theta \left[d - e^{-\frac{d}{2\lambda \cos \theta}} \int_0^d \operatorname{ch}\left(\frac{d-2z}{2\lambda \cos \theta}\right) dz \right] \right]$$

$$\int_0^d \operatorname{ch}\left(\frac{d-2z}{2\lambda \cos \theta}\right) dz = 2\lambda \cos \theta \operatorname{sh}\left(\frac{d}{2\lambda \cos \theta}\right)$$

$$\sigma = \frac{A}{d} \left[\int_0^{\pi/2} \sin^3 \theta d\theta \left[d - e^{-\frac{d}{2\lambda \cos \theta}} \lambda \cos \theta \left[e^{\frac{d}{2\lambda \cos \theta}} - e^{-\frac{d}{2\lambda \cos \theta}} \right] \right] \right]$$

$$\sigma = A \left[\int_0^{\pi/2} \sin^3 \theta d\theta \left[1 - \frac{\lambda}{d} \cos \theta \left(1 - e^{-\frac{d}{\lambda \cos \theta}} \right) \right] d\theta \right]$$

$$\sigma = A \left[\int_0^{\pi/2} \sin^3 \theta d\theta - \frac{\lambda}{d} \int_0^{\pi/2} \sin^3 \theta d\theta \cos \theta \left(1 - e^{-\frac{d}{\lambda \cos \theta}} \right) d\theta \right]$$

$$\sigma = A \left[1 - \frac{3}{2} \frac{\lambda}{d} \int_0^{\pi/2} \sin^3 \theta d\theta \cos \theta \left(1 - e^{-\frac{d}{\lambda \cos \theta}} \right) d\theta \right] \frac{2}{3}$$

$$\sigma_0 = A \frac{2}{3} = \frac{8\pi}{3} \frac{m^2 e^2 \tau}{h^3} \bar{v}^3$$

$$t = \frac{1}{\cos \theta} \rightarrow \cos \theta = \frac{1}{t}, \quad d\theta = \frac{\cos^2 \theta}{\sin \theta} dt \rightarrow \sin \theta d\theta = \cos^2 \theta dt$$

$$k = \frac{d}{\lambda}$$

$$\theta=0 \quad \text{ise} \quad t = \frac{1}{\cos \theta} = 1$$

$$\theta=\pi/2 \quad \text{ise} \quad t = \frac{1}{0} = \infty$$

$$\int_0^{\pi/2} \sin^3 \theta d\theta \cos \theta d\theta = \int_1^\infty \left(\frac{1}{t^3} - \frac{1}{t^5} \right) dt$$

$$\sigma = \sigma_0 \left(1 - \frac{3}{2k} \int_1^{\infty} \left[\frac{1}{t^3} - \frac{1}{t^5} \right] \left[1 - e^{-kt} \right] dt \right)$$

$$\frac{\sigma}{\sigma_0} = \left(1 - \frac{3}{2k} \int_1^{\infty} \left[\frac{1}{t^3} - \frac{1}{t^5} \right] \left[1 - e^{-kt} \right] dt \right) \quad (*)$$

$$e^{-kt} = 1 - \frac{kt}{1!} + \frac{k^2 t^2}{2!} - \frac{k^3 t^3}{3!} + \dots$$

$$t \in [1, \infty] \quad , \quad k \gg 1$$

$kt \gg$ ise $e^{-kt} = \frac{1}{e^{kt}} \ll 1$ ise e^{-kt} 1'in yanında

ihmal edilir. $k \gg 1$ için

$$\int_1^{\infty} \left[\frac{1}{t^3} - \frac{1}{t^5} \right] \left[1 - e^{-kt} \right] dt = \int_1^{\infty} \frac{1}{t^3} dt - \int_1^{\infty} \frac{1}{t^5} dt = \frac{1}{4}$$

$$\frac{\sigma}{\sigma_0} = \left(1 - \frac{3}{2k} - \frac{1}{4} \right) = 1 - \frac{3}{8k}$$

bulunur. (*) ifadesinden hareketle ve

$$\int \frac{e^{ax}}{x^n} dx = -\frac{e^{ax}}{(n-1)x^{n-1}} + \frac{a}{n-1} \int \frac{e^{ax}}{x^{n-1}} dx$$

$$\int \frac{e^{ax}}{x^n} dx = \ln x + \frac{ax}{1 \cdot 1!} + \frac{(ax)^2}{2 \cdot 2!} + \frac{(ax)^3}{3 \cdot 3!} + \dots$$

$$e^x = 1 + x + \frac{x^2}{2!} + \frac{x^3}{3!} + \frac{x^4}{4!} + \dots$$

∞

$$\int_1^\infty \frac{e^{-kt}}{t} dt = E_1(k)$$

$$E_1(k) = -\gamma - \ln k + k - \frac{k^2}{2 \cdot 2!} + \frac{k^3}{3 \cdot 3!} + \dots$$

γ = Euler sabiti = 0,57721 ,

bağıntılarını kullanarak $k \ll 1$ için

$$\frac{\sigma}{\sigma_0} = -\frac{36}{48} k - \frac{3}{4} k\gamma + \frac{3}{4} k \ln \frac{1}{k}$$

$$\frac{\sigma}{\sigma_0} = -\frac{3k}{4} \ln \frac{1}{k} + 0,423$$

bağıntısı bulunur.

EK 2-A

```

      DD 200 I=1,58
      WRITE(6,1)
1   FORMAT(1)
      READ(5,10) A          SOL TARAF
10  FORMAT(F7.5)
      DO 40 K=1,100          SAG TARAF
      T=K/100.
      B=((3*T)/4)*(LOG(1./T)+0.423)
      F=A-B
      WRITE(6,30) A,B,F,T
30  FORMAT(F3.6,3F12.0)
20  CONTINUE
400 CONTINUE
STOP
END

```

EK 2-B

```

DIMENSION T(2000),TT(-000),KT(10,2000),F(10,2000),
*K(10),KK(10),
*SN(10)
REAL * 8 KT,KK,K,K0,F
K0=0.00000001
Z=0.
DO 1 J=1,10
K(J)=K0+Z*0.0001
Z=Z+1
1 CONTINUE
      WRITE (0,12)(K(J),J=1,10)
12  FORMAT(0X,10(2X,FC.4))
10  READ (5,9) A
9   FORMAT(F6.4)
IF(A.EQ.9.9) GO TO 99
SK=Z*(1-A)/3.
BT=1.
DT=0.01
X=0.
DO 2 I=1,2000
T(I)=BT+X*DT
TT(I)=(1./(T(I)**3))**((1./(T(I)**5)))
X=X+1
2 CONTINUE
DO 3 J=1,10
DO 7 I=1,2000
KT(J,I)=1.-EXP(-K(J)*T(I))
F(J,I)=TT(I)*KT(J,I)*DT
TFI=TFI+F(J,I)
7   CONTINUE,
      WRITE (0,15) TFI
15  FORMAT(1X,FC.4)
SN(J)=TFI/K(J)
KK(J)=SN(J)-SK
TFI=0.
3 CONTINUE
      WRITE (0,13) A,(KK(J),J=1,10)
13  FORMAT(1X,FO.4,1X,10(1X,F7.4))
99  GO TO 10
STOP
END

```

EK 2 - C

```

*          FIL  KALI\NIGINA  EACLI CLARK
*          T201SMITRIS  FESDPI
*          CCMPLEX JI+NFI,TK,C2,02,X,CP1,CF2,TK1,TK2,X1,2,C2
*          *3,03,CC1,CC2,XC,XC1
*          REAL NS,KT,NC,CL,R1,NCX,N,K,NA,K2
*          INTEGER A,Y,N,L
*          DIMENSION N(GC),X(GC),NF(GC,GC),C2(GC,GC),C3(GC,GC),G2(GC,GC),
*          *23(GC,GC),X(GC,GC),X1(GC,GC),CP1(GC,GC),CP2(GC,GC),TK1(GC,GC),
*          *TK2(GC,GC),RT(GC,GC),KT(GC,GC),T(GC,GC),TK1(GC,GC),TK2(GC,GC),TAA(GC,GC),
*          *TT(GC,GC)
*          DATA PI/3.141592653/,NC/1./,NS/1./,F/=.0./
*          FCNVAAT (2(F,5.5))
*          C2=622E0
*          JI=(C,C,1,C)
*          TC=C.67
*          TC=TC*95./99.
*          C=1eC.
*          WRITE(6,12) C
*          12 FORMAT (1X,F7.2)
*          NCX=2.43
*          DCX=12E0
*          XC=-JI*4*PI*NCX*CCX/C2
*          XC1=XC/2
*          CC1=CEXP(XC1)
*          CC2=CEXP(XC)
*          C1=(C.*NC)/(NCX+10)
*          R1=(NCX-NC)/(NCX+NC)
*          WRITE(6,21) CCX,NCX
*          NA=C.5
*          DN=C.1
*          K1=C.C
*          CK=C.1
*          21 FORMAT (3X,'CCX=',F3.3,3X,'NCX=',F3.2)
*          A=C.
*          DO I I=1,GC
*          Y=C.
*          N(I)=NA*DN*A
*          DO J J=1,GC
*          K(J)=KA*CK*Y
*          NF(I,J)=N(I)-JI*K(J)
*          C2(I,J)=(C.*NCX)/(NF(I,J)+NCX)
*          C3(I,J)=(C.*NF(I,J))/(NS+NF(I,J))
*          R2(I,J)=(NF(I,J)-NCX)/(NF(I,J)+NCX)
*          R3(I,J)=(NS-NF(I,J))/(NS+NF(I,J))
*          X(I,J)=-4*JI*D1*NF(I,J)*C/C2
*          X1(I,J)=X(I,J)/2.
*          CP1(I,J)=CEXP(X1(I,J))
*          CP2(I,J)=CEXP(X(I,J))
*          TK1(I,J)=C1*C2(I,J)+C3(I,J)*CP1(I,J)*CC1
*          TK2(I,J)=1.+(R1*R2(I,J)*CC2)+(R1*R3(I,J)*CC2*CP2(I,J))
*          &+(R2(I,J)*R3(I,J)*CP2(I,J))
*          TK(I,J)=TK1(I,J)/TK2(I,J)
*          RT(I,J)=REAL(TK(I,J))
*          KT(I,J)=AIMAG(TK(I,J))
*          T(I,J)=(RT(I,J)+J2*KT(I,J)+Z1)*Z1*NS/NC
*          TT(I,J)=AES(TC-T(I,J))
*          Y=Y+1
*          2 CONTINUE
*          A=A+1
*          1 CONTINUE
*          2 WRITE(6,32) T(I,J)
*          FCNVAAT (1X,E3.5)
*          D=C+1CC
*          IF (C.EC.350) GC TC 99
*          2C FCNVAAT (3X,2(F1C.5),2X,F1C.7)
*          999 STCP
*          END

```